

บทที่ 4

ผลการทดสอบ วิเคราะห์ รูป และข้อเสนอแนะ

4.1 ผลการทดลอง

ผลการทดลองจากการลดความชื้นสัมพัทธ์ภายในห้องปรับอากาศทั้ง 3 ระบบ(ระบบที่ 1 Reheat ก่อนผ่านการระบายความร้อนที่ Condenser, ระบบที่ 2 Reheat หลังผ่านการระบายความร้อนที่ Condenser และ ระบบที่ 3 แบบผสม) ณ. อัตราส่วนความร้อนสัมผัส (Sensible Heat Ration, SHR) ของห้องต่าง ๆ ดังนี้

1. สภาวะ $SHR = 0.65$ (ความร้อนสัมผัส = 3,742 W และความร้อนแฝง = 2,062 W)
ดังตาราง 4 - 1 , 4 - 2 และ 4 - 3

2. สภาวะ $SHR = 0.55$ (ความร้อนสัมผัส = 3,212 W และความร้อนแฝง = 2,584 W)
ดังตาราง 4 - 4 , 4 - 5 และ 4 - 6

3. สภาวะ $SHR = 0.50$ (ความร้อนสัมผัส = 2,921 W และความร้อนแฝง = 2,894 W)
ดังตาราง 4 - 7 , 4 - 8 และ 4 - 9

ตารางที่ 4 -1 แสดงผลการทดลองของระบบ Reheat แบบที่ 1 (Reheat ก่อนผ่านการระบายความร้อนที่ Condenser) ที่ SHR = 0.65

Load Sensible Heat = 3,742 W , Latent Heat = 2,062 W

Time (min.)	Entering Air		RH (%)	Leaving Air				\dot{m}_a (Kg/s)	\dot{m}_r (Kg/s)	T _{suc.} (°C)	T _{dis.} (°C)	T _e (°C)	T _c (°C)	T _{reh.} (°C)	T ₁₃ (°C)	T ₁₄ (°C)	Pressure (kg/cm ²)			Pdiff. mmH ₂ O	Winput (W)	Q _T (W)	Q _R (W)	COP	Test Condition		
	T _{db1} (°C)	T _{wb1} (°C)		T _{db2} (°C)	T _{wb2} (°C)	T* _{db} (°C)	T* _{wb} (°C)										P _{suc.}	P _{dis.}	P _{exp,in}						Normal	Reheat	
																										Before	After
0	23.5	17.4	54.2	14.2	11.6	14.2	11.6	0.40	0.041	1.1	90.6	5.4	45.7	14.3	44.1	13.2	4.0	18.5	16.9	29.2	3,362	6,231	0	1.85	✓		
5	24.0	17.7	53.4	26.8	16.3	15.0	11.7	0.39	0.040	0.2	86.6	5.7	37.6	39.8	36.1	12.1	4.0	18.3	13.6	28.3	3,322	6,249	4,880	1.88		✓	
10	24.8	17.7	49.3	28.4	16.8	15.5	11.8	0.38	0.039	0.3	87.2	5.6	38.0	40.2	36.5	12.0	4.0	18.3	13.7	28.2	3,319	6,123	5,190	1.85		✓	
15	25.6	17.9	46.6	29.2	17.0	16.2	12.0	0.38	0.039	0.9	88.0	5.8	38.4	40.8	36.8	12.5	4.0	18.5	13.8	28.1	3,364	6,142	5,234	1.83		✓	
20	26.1	18.1	45.4	29.6	17.2	16.6	12.2	0.38	0.039	1.0	88.7	6.1	38.8	41.3	37.2	12.7	4.0	18.6	13.9	28.1	3,366	6,180	5,310	1.84		✓	
25	26.4	18.3	45.1	30.1	17.4	17.1	12.5	0.38	0.039	1.5	89.3	6.3	39.0	41.7	37.5	13.0	4.0	18.6	13.9	28.1	3,374	6,123	5,285	1.82		✓	
30	26.7	18.4	44.4	18.1	13.8	16.9	12.6	0.40	0.043	2.1	89.0	7.1	47.5	16.5	46.0	14.8	4.2	19.1	17.4	28.9	3,473	6,367	1,206	1.84	✓		
35	26.1	18.2	45.9	16.3	12.9	16.2	12.4	0.40	0.043	1.7	90.4	6.6	47.0	15.9	45.2	14.2	4.2	19.1	17.4	29.0	3,437	6,356	494	1.85	✓		
40	25.6	18.0	47.1	15.7	12.5	15.9	12.2	0.40	0.043	1.5	91.5	6.3	47.0	15.5	45.2	14.1	4.1	19.0	17.3	29.0	3,430	6,319	293	1.84	✓		
45	25.2	17.9	48.5	15.4	12.3	15.7	12.1	0.40	0.043	1.2	91.6	6.3	46.8	15.3	45.1	14.1	4.1	18.9	17.2	29.0	3,438	6,300	194	1.83	✓		
50	24.9	17.7	48.8	15.1	12.1	15.4	12.0	0.40	0.042	1.1	91.2	6.3	46.8	15.2	45.0	13.8	4.1	18.9	17.2	29.0	3,409	6,162	96	1.81	✓		
55	24.7	17.5	48.7	14.9	11.9	15.2	11.8	0.40	0.041	1.2	90.9	6.2	46.5	15.1	44.7	13.7	4.0	18.9	17.1	29.1	3,407	6,131	95	1.80	✓		
60	24.5	17.5	49.2	14.8	11.7	15.1	11.7	0.40	0.042	0.9	90.6	5.9	46.2	14.9	44.6	13.7	4.0	18.8	17.0	29.2	3,408	6,240	0	1.83	✓		
65	24.4	17.4	49.4	14.6	11.6	14.9	11.6	0.40	0.042	0.9	90.1	5.9	46.3	14.7	44.7	13.4	4.0	18.7	17.0	29.2	3,390	6,222	0	1.83	✓		
70	24.2	17.4	50.4	14.5	11.6	14.7	11.6	0.40	0.042	0.7	89.9	5.7	46.1	14.5	44.3	13.4	4.0	18.6	16.9	29.2	3,378	6,224	0	1.84	✓		
75	24.0	17.3	50.7	14.4	11.5	14.6	11.5	0.40	0.042	0.7	89.4	5.6	45.9	14.4	44.2	13.2	4.0	18.5	16.8	29.2	3,374	6,203	0	1.84	✓		
80	23.9	17.2	50.8	14.3	11.4	14.5	11.4	0.40	0.042	0.7	89.0	5.7	45.9	14.5	44.0	13.1	4.0	18.5	16.8	29.2	3,366	6,182	0	1.84	✓		
85	23.8	17.2	51.2	14.2	11.4	14.5	11.4	0.40	0.041	0.4	88.9	5.5	45.8	14.2	44.1	13.0	3.9	18.4	16.7	29.2	3,380	6,183	0	1.83	✓		
90	23.7	17.1	51.2	14.1	11.3	14.3	11.3	0.40	0.041	0.5	88.9	5.4	45.5	14.1	43.8	12.9	3.9	18.4	16.7	29.2	3,343	6,163	0	1.84	✓		
95	23.6	17.0	51.1	14.0	11.1	14.2	11.1	0.40	0.041	0.3	88.4	5.4	45.5	14.0	43.9	12.9	3.9	18.4	16.7	29.2	3,344	6,237	0	1.85	✓		
100	23.5	17.0	51.5	14.0	11.1	14.1	11.1	0.40	0.041	0.2	88.2	5.4	45.7	14.0	43.7	12.8	3.9	18.4	16.7	29.2	3,355	6,238	0	1.85	✓		
105	24.0	17.3	50.9	26.1	15.9	14.9	11.3	0.39	0.038	0.0	85.4	5.1	37.2	39.2	35.6	11.3	3.9	18.2	13.5	28.4	3,300	6,177	4,672	1.86		✓	
110	24.9	17.6	48.1	28.3	16.7	15.7	11.6	0.38	0.038	0.3	86.7	5.4	38.0	40.0	36.3	11.9	3.9	18.2	13.6	28.2	3,316	6,195	5,172	1.86		✓	
115	25.6	17.8	45.5	29.0	17.0	16.3	11.8	0.38	0.038	0.4	87.7	5.7	38.1	40.4	36.6	12.2	4.0	18.4	13.8	28.2	3,349	6,228	5,310	1.86		✓	
120	26.1	18.0	44.9	29.6	17.2	16.7	12.0	0.38	0.039	0.9	88.2	6.1	38.7	41.1	37.0	12.7	4.0	18.6	14.0	28.1	3,374	6,255	5,312	1.85		✓	

หมายเหตุ T*_{db} , T*_{wb} คือ อุณหภูมิของอากาศก่อนไหลเข้า Reheat coil

ตารางที่ 4 - 1 (ต่อ) แสดงผลการทดลองของระบบ Reheat แบบที่ 1 (Reheat ก่อนผ่านการระบายความร้อนที่ Condenser) ที่ SHR = 0.65

Load Sensible Heat = 3,742 W , Latent Heat = 2,062 W

Time (min.)	Entering Air		RH (%)	Leaving Air				\dot{m}_a (Kg/s)	\dot{m}_r (Kg/s)	Tsuc. (°C)	Tdis. (°C)	Te (°C)	Tc (°C)	Treh. (°C)	T ₁₃ (°C)	T ₁₄ (°C)	Pressure (kg/cm ²)			Pdiff. mmH ₂ O	Winput (W)	Q _T (W)	Q _R (W)	COP	Test Condition		
	T _{db1} (°C)	T _{wb1} (°C)		T _{db2} (°C)	T _{wb2} (°C)	T* _{db} (°C)	T* _{wb} (°C)										Psuc.	Pdis.	Pexp.in						Normal	Reheat	
																										Before	After
125	26.4	18.1	44.0	17.7	13.6	16.6	12.4	0.39	0.041	1.6	88.0	7.0	47.4	16.2	45.7	14.6	4.1	19.0	17.3	29.0	3,466	6,215	1,200	1.80	✓		
130	25.8	18.0	46.2	16.0	12.7	16.1	12.2	0.40	0.042	1.7	90.3	6.3	46.8	15.8	45.0	14.1	4.1	19.0	17.3	29.1	3,426	6,324	491	1.85	✓		
135	25.5	17.9	47.0	15.5	12.3	15.8	12.1	0.40	0.042	1.3	91.1	6.3	46.9	15.7	45.1	14.0	4.1	19.0	17.3	29.1	3,430	6,309	194	1.84	✓		
140	25.1	17.7	47.8	15.2	12.1	15.5	11.9	0.40	0.041	1.7	91.1	6.2	46.8	15.3	45.0	13.9	4.0	18.9	17.2	29.1	3,417	6,268	193	1.83	✓		
145	24.9	17.6	48.1	15.0	11.9	15.3	11.8	0.40	0.041	0.9	90.8	5.9	46.6	14.9	44.8	13.7	4.0	18.8	17.1	29.2	3,430	6,260	96	1.83	✓		
150	24.6	17.4	48.4	14.8	11.7	15.0	11.6	0.40	0.041	0.7	90.6	5.9	46.5	14.9	44.7	13.4	4.0	18.7	17.1	29.2	3,390	6,218	95	1.83	✓		
155	24.5	17.3	48.4	14.6	11.6	14.9	11.5	0.40	0.041	0.7	90.3	5.9	46.2	14.7	44.5	13.3	4.0	18.7	17.0	29.2	3,380	6,198	95	1.83	✓		
160	24.3	17.2	48.7	14.4	11.3	14.7	11.3	0.40	0.041	0.4	89.9	5.7	46.0	14.5	44.3	13.3	4.0	18.6	16.9	29.3	3,370	6,286	0	1.85	✓		
165	24.1	17.1	49.0	14.3	11.2	14.6	11.2	0.40	0.041	0.6	89.2	5.5	46.1	14.4	44.2	13.1	4.0	18.6	16.9	29.3	3,361	6,265	0	1.85	✓		
170	24.0	17.0	49.0	14.2	11.1	14.5	11.1	0.40	0.041	0.5	88.9	5.6	46.8	14.2	44.3	13.0	4.0	18.5	16.8	29.3	3,366	6,244	0	1.86	✓		
175	23.9	17.0	49.4	14.1	11.1	14.4	11.1	0.40	0.041	0.4	88.7	5.4	45.8	14.1	43.9	13.0	4.0	18.5	16.8	29.3	3,356	6,245	0	1.86	✓		
180	23.7	16.9	49.9	14.0	11.0	14.2	11.0	0.40	0.041	0.5	88.8	5.3	45.8	14.0	43.8	12.8	4.0	18.4	16.7	29.3	3,343	6,225	0	1.85	✓		
185	23.6	16.9	50.4	13.9	11.0	14.1	11.0	0.40	0.041	0.0	88.4	5.3	45.5	14.0	43.8	12.8	3.9	18.4	16.7	29.3	3,350	6,227	0	1.85	✓		
190	23.5	16.8	50.4	13.8	10.9	13.9	10.9	0.40	0.041	0.2	88.2	5.2	45.5	13.8	43.6	12.6	3.9	18.3	16.6	29.3	3,338	6,206	0	1.86	✓		
195																											
200																											
205																											
210																											
215																											
220																											
225																											
230																											
235																											
240																											
245																											

หมายเหตุ T*_{db}, T*_{wb} คือ อุณหภูมิของอากาศก่อนไหลเข้า Reheat coil

ตารางที่ 4-2 แสดงผลการทดลองของระบบ Reheat แบบที่ 2 (Reheat หลังผ่านการระบายความร้อนที่ Condenser) ที่ SHR = 0.65

Load Sensible Heat = 3,742 W , Latent Heat = 2,062 W

Time (min.)	Entering Air		RH (%)	Leaving Air				\dot{m}_a (Kg/s)	\dot{m}_r (Kg/s)	Tsuc. (°C)	Tdis. (°C)	Te (°C)	Tc (°C)	Treh. (°C)	T ₁₃ (°C)	T ₁₄ (°C)	Pressure (kg/cm ²)			Pdiff. mmH ₂ O	Winput (W)	Q _T (W)	Q _R (W)	COP	Test Condition		
	T _{db1} (°C)	T _{wb1} (°C)		T _{db2} (°C)	T _{wb2} (°C)	T* _{db} (°C)	T* _{wb} (°C)										Psuc.	Pdis.	Pexp,in						Normal	Reheat	
																										Before	After
0	23.5	17.4	54.2	14.3	11.6	14.3	11.6	0.40	0.041	0.9	87.7	5.8	46.2	14.5	44.4	13.7	4.0	18.7	17.0	29.2	3,370	6,229	0	1.85	✓		
5	23.8	17.4	52.6	22.0	14.1	14.4	11.3	0.40	0.038	-0.1	76.7	5.6	40.4	30.0	30.7	11.1	3.9	16.5	11.5	28.6	3,197	6,362	2,812	1.99			✓
10	24.3	17.4	49.9	23.0	14.3	14.8	11.4	0.39	0.037	-0.1	73.5	5.6	40.6	30.1	30.8	11.0	3.9	16.4	11.5	28.5	3,160	6,243	3,125	1.98			✓
15	24.7	17.5	48.5	23.3	14.4	15.2	11.4	0.39	0.038	-0.4	72.9	5.4	40.8	30.0	30.9	11.0	3.9	16.4	11.5	28.5	3,148	6,354	3,210	2.02			✓
20	25.0	17.6	47.7	23.5	14.6	15.4	11.5	0.39	0.038	-0.3	72.9	5.5	41.0	30.2	31.0	11.2	3.9	16.5	11.6	28.5	3,170	6,372	3,255	2.01			✓
25	25.3	17.6	46.2	23.7	14.6	15.6	11.5	0.39	0.038	-0.4	73.5	5.5	41.1	30.4	31.3	11.2	3.9	16.5	11.6	28.4	3,165	6,357	3,277	2.00			✓
30	25.5	17.7	45.9	23.9	14.6	15.8	11.6	0.39	0.038	-0.4	73.6	5.6	41.2	30.6	31.4	11.4	3.9	16.6	11.7	28.4	3,177	6,377	3,255	2.00			✓
35	25.7	17.8	45.5	24.0	14.8	16.1	11.7	0.39	0.038	0.0	74.0	5.8	41.2	30.8	31.6	11.6	3.9	16.7	11.8	28.4	3,159	6,397	3,282	2.02			✓
40	25.8	17.9	45.5	24.2	14.9	16.2	11.8	0.39	0.038	-0.1	74.3	5.7	41.2	30.9	31.7	11.4	3.9	16.8	11.8	28.4	3,187	6,418	3,310	2.01			✓
45	25.9	17.9	45.1	24.3	14.9	16.4	11.9	0.39	0.038	-0.1	74.7	5.7	41.4	31.0	31.7	11.6	3.9	16.8	11.9	28.4	3,200	6,321	3,275	1.98			✓
50	26.1	18.0	44.9	24.5	14.9	16.5	12.0	0.39	0.038	0.0	75.1	5.8	41.5	31.1	31.9	11.6	3.9	16.8	11.9	28.4	3,207	6,342	3,265	1.98			✓
55	26.1	18.1	45.4	16.0	13.2	16.3	12.4	0.40	0.041	2.3	89.0	6.5	47.6	15.2	45.8	15.2	4.4	19.2	17.5	28.9	3,501	6,226	793	1.78	✓		
60	25.6	18.1	47.7	16.1	12.9	16.2	12.3	0.40	0.041	1.4	83.9	5.9	47.0	15.7	45.1	14.8	4.3	19.0	17.2	29.0	3,475	6,334	592	1.82	✓		
65	25.3	17.9	47.9	15.6	12.4	15.8	12.1	0.40	0.041	1.3	85.2	5.5	46.6	15.3	44.9	14.4	4.1	18.9	17.1	29.0	3,428	6,297	292	1.83	✓		
70	25.0	17.6	47.7	14.9	11.9	15.5	11.8	0.40	0.041	1.3	88.8	5.3	46.3	14.8	44.6	13.9	4.1	18.8	17.0	29.0	3,375	6,238	94	1.84	✓		
75	24.7	17.4	47.9	14.7	11.6	15.2	11.6	0.40	0.040	0.9	90.2	5.4	46.3	14.6	44.5	13.5	4.0	18.7	16.9	29.1	3,381	6,210	0	1.83	✓		
80	24.5	17.3	48.3	14.5	11.4	14.9	11.4	0.40	0.041	0.9	90.3	5.4	46.0	14.5	44.3	13.4	4.0	18.6	16.8	29.1	3,370	6,285	0	1.85	✓		
85	24.3	17.2	48.7	14.4	11.4	14.9	11.4	0.40	0.040	0.7	90.2	5.4	45.6	14.6	44.2	13.4	4.0	18.5	16.7	29.2	3,360	6,178	0	1.83	✓		
90	24.2	17.2	49.2	14.3	11.4	14.8	11.4	0.40	0.040	0.8	89.9	5.4	45.9	14.4	44.3	13.4	4.0	18.5	16.7	29.2	3,377	6,180	0	1.83	✓		
95	24.1	17.1	49.3	14.3	11.4	14.7	11.3	0.40	0.040	0.5	89.7	5.3	46.0	14.4	44.2	13.4	4.0	18.5	16.7	29.2	3,360	6,157	0	1.83	✓		
100	24.0	17.1	49.6	14.2	11.3	14.7	11.3	0.40	0.040	0.8	89.9	5.4	45.9	14.3	44.2	13.4	4.0	18.5	16.7	29.2	3,358	6,159	0	1.83	✓		
105	23.9	17.1	50.1	14.1	11.2	14.5	11.2	0.40	0.041	0.6	89.4	5.2	46.0	14.1	43.9	13.3	4.0	18.5	16.7	29.2	3,368	6,257	0	1.84	✓		
110	23.8	17.0	50.0	14.0	11.2	14.4	11.2	0.40	0.041	0.6	89.3	5.3	45.9	14.1	43.8	13.1	4.0	18.5	16.6	29.2	3,324	6,140	0	1.84	✓		
115	23.7	17.0	50.5	13.9	11.1	14.3	11.1	0.40	0.041	0.4	89.2	5.3	45.5	13.9	43.7	13.0	3.9	18.4	16.6	29.2	3,337	6,237	0	1.85	✓		
120	23.6	16.9	50.5	13.9	11.0	14.1	11.0	0.40	0.041	0.5	89.1	5.3	45.7	13.9	43.8	13.0	3.9	18.4	16.6	29.2	3,339	6,216	0	1.85	✓		

หมายเหตุ T*_{db} , T*_{wb} คือ อุณหภูมิของอากาศก่อนไหลเข้า Reheat coil

ตารางที่ 4 - 2 (ต่อ) แสดงผลการทดลองของระบบ Reheat แบบที่ 2 (Reheat หลังผ่านการระบายความร้อนที่ Condenser) ที่ SHR = 0.65

Load Sensible Heat = 3,742 W , Latent Heat = 2,062 W

Time (min.)	Entering Air		RH (%)	Leaving Air				\dot{m}_a (Kg/s)	\dot{m}_r (Kg/s)	Tsuc. (°C)	Tdis. (°C)	Te (°C)	Tc (°C)	Treh. (°C)	T ₁₃ (°C)	T ₁₄ (°C)	Pressure (kg/cm ²)			Pdiff. mmH ₂ O	Winput (W)	Q _T (W)	Q _R (W)	COP	Test Condition		
	T _{db1} (°C)	T _{wb1} (°C)		T _{db2} (°C)	T _{wb2} (°C)	T* _{db} (°C)	T* _{wb} (°C)										Psuc.	Pdis.	Pexp.in						Normal	Reheat	
																										Before	After
125	23.5	16.8	50.3	13.8	10.9	14.0	10.9	0.40	0.040	0.3	88.9	5.2	45.6	13.8	43.8	13.0	3.9	18.4	16.6	29.2	3,335	6,195	0	1.85	✓		
130	23.7	17.0	50.5	21.5	13.7	14.3	10.9	0.39	0.037	-0.2	76.3	5.5	40.6	29.8	30.8	10.8	3.8	16.3	11.5	28.7	3,228	6,285	2,820	1.95			✓
135	24.2	17.1	48.6	22.7	14.1	14.7	11.0	0.39	0.037	-0.4	71.7	5.4	40.4	29.9	30.7	10.9	3.8	16.3	11.5	28.6	3,177	6,282	3,102	1.98			✓
140	24.6	17.2	47.2	23.1	14.3	15.0	11.1	0.39	0.037	-0.6	71.5	5.2	40.5	30.0	30.7	10.6	3.9	16.4	11.5	28.5	3,153	6,287	3,293	1.99			✓
145	25.0	17.3	46.5	23.3	14.5	15.2	11.2	0.39	0.037	-0.8	71.7	5.2	40.6	30.1	30.9	10.8	3.9	16.5	11.6	28.5	3,138	6,306	3,312	20.10			✓
150	25.3	17.5	46.0	23.6	14.6	15.5	11.4	0.39	0.038	-0.5	72.2	5.4	40.8	30.3	31.1	11.1	3.9	16.5	11.6	28.4	3,161	6,335	3,294	2.00			✓
155	25.6	17.6	45.8	23.8	14.7	15.8	11.5	0.39	0.038	-0.3	72.6	5.5	41.0	30.6	31.3	11.3	3.9	16.6	11.7	28.4	3,171	6,354	3,284	2.00			✓
160	25.8	17.7	45.4	24.0	14.9	16.0	11.6	0.39	0.038	-0.3	73.3	5.6	41.2	30.8	31.6	11.5	3.9	16.6	11.7	28.4	3,160	6,373	3,314	2.02			✓
165	26.0	17.8	44.8	24.2	14.9	16.2	11.7	0.39	0.038	0.0	73.6	5.7	41.3	30.9	31.5	11.5	3.9	16.7	11.8	28.4	3,181	6,394	3,295	2.01			✓
170	25.8	18.0	46.1	16.0	12.8	16.2	12.2	0.40	0.042	1.9	90.8	6.0	47.2	16.5	45.3	14.9	4.4	19.1	17.4	29.0	3,443	6,311	926	1.83	✓		
175	25.4	17.9	47.5	15.8	12.9	16.2	12.1	0.40	0.041	2.1	84.8	6.6	47.0	15.7	45.3	14.5	4.3	19.0	17.2	29.0	3,446	6,292	787	1.83	✓		
180	25.2	17.9	48.3	15.6	12.5	15.9	12.1	0.40	0.041	1.2	84.6	5.8	46.8	15.4	45.0	13.9	4.2	18.9	17.1	29.0	3,413	6,298	391	1.84	✓		
185	24.8	17.6	48.6	15.1	11.9	15.6	11.8	0.40	0.041	1.6	88.0	5.5	46.6	15.0	44.7	13.8	4.0	18.8	17.0	29.0	3,385	6,238	95	1.84	✓		
190	24.6	17.4	48.4	14.7	11.7	15.3	11.6	0.40	0.041	1.0	89.5	5.5	46.1	14.6	44.4	13.6	4.0	18.7	17.0	29.1	3,382	6,208	95	1.83	✓		
195	24.4	17.3	48.6	14.6	11.5	15.1	11.5	0.40	0.041	0.6	90.0	5.6	46.2	14.5	44.5	13.5	4.0	18.6	17.0	29.2	3,388	6,210	0	1.83	✓		
200	24.3	17.2	48.7	14.4	11.4	15.0	11.4	0.40	0.041	0.5	90.2	5.5	46.0	14.3	44.4	13.3	4.0	18.5	16.9	29.2	3,377	6,179	0	1.83	✓		
205	24.1	17.1	49.0	14.3	11.3	14.8	11.3	0.40	0.041	0.7	89.9	5.4	46.0	14.2	44.2	13.4	4.0	18.4	16.8	29.2	3,365	6,158	0	1.83	✓		
210	24.0	17.0	49.0	14.2	11.2	14.7	11.2	0.40	0.041	0.5	89.5	5.4	45.9	14.3	44.1	13.2	4.0	18.4	16.7	29.2	3,364	6,137	0	1.82	✓		
215	23.8	16.9	49.2	14.0	11.0	14.6	11.0	0.40	0.041	0.1	89.5	5.2	45.9	14.2	44.0	13.0	4.0	18.4	16.7	29.2	3,348	6,212	0	1.85	✓		
220	23.7	16.8	49.3	14.0	10.9	14.5	10.9	0.40	0.041	0.2	89.4	5.2	45.7	14.0	43.9	13.2	3.9	18.4	16.6	29.3	3,350	6,201	0	1.85	✓		
225	23.6	16.7	49.2	13.9	10.9	14.4	10.9	0.40	0.041	0.1	89.1	5.2	45.5	13.8	43.9	13.1	3.9	18.4	16.6	29.3	3,326	6,142	0	1.83	✓		
230	23.5	16.7	49.7	13.8	10.8	14.2	10.8	0.40	0.041	0.0	89.1	5.1	45.6	13.8	43.7	13.1	3.9	18.4	16.5	29.3	3,344	6,182	0	1.85	✓		
235																											
240																											
245																											

หมายเหตุ T*_{db} , T*_{wb} คือ อุณหภูมิของอากาศก่อนไหลเข้า Reheat coil

ตารางที่ 4-3 แสดงผลการทดลองของระบบ Reheat แบบที่ 3 ระบบผสม ที่ SHR = 0.65

Load Sensible Heat = 3,742 W , Latent Heat = 2,062 W

Time (min.)	Entering Air		RH (%)	Leaving Air				\dot{m}_a (Kg/s)	\dot{m}_r (Kg/s)	T _{suc.} (°C)	T _{dis.} (°C)	T _e (°C)	T _c (°C)	T _{reh.} (°C)	T ₁₃ (°C)	T ₁₄ (°C)	Pressure (kg/cm ²)			Pd _{diff.} mmH ₂ O	Win _{input} (W)	Q _T (W)	Q _R (W)	COP	Test Condition		
	T _{db1} (°C)	T _{wb1} (°C)		T _{db2} (°C)	T _{wb2} (°C)	T* _{db} (°C)	T* _{wb} (°C)										P _{suc.}	P _{dis.}	P _{exp.in}						Normal	Reheat	
																										Before	After
0	23.5	17.4	54.2	14.3	11.5	14.3	11.5	0.40	0.041	1.4	91.4	5.7	45.8	14.2	44.1	13.5	4.0	18.4	16.5	29.3	3,354	6,230	0	1.85	✓		
5	24.0	17.7	53.4	26.9	16.6	15.2	11.7	0.38	0.038	0.5	87.7	5.6	37.8	39.9	35.9	12.2	3.9	18.2	13.5	28.3	3,312	6,246	4,989	1.87		✓	
10	25.0	17.9	49.5	28.6	17.0	15.9	12.0	0.38	0.038	0.9	87.9	5.5	38.0	40.4	36.4	12.4	4.0	18.4	13.7	28.2	3,324	6,165	5,138	1.85		✓	
15	25.7	18.1	47.2	29.3	17.3	16.4	12.2	0.38	0.038	0.8	88.6	5.9	38.4	40.9	36.7	12.8	4.0	18.5	13.9	28.1	3,347	6,190	5,265	1.84		✓	
20	26.3	18.3	45.6	29.8	17.6	16.9	12.4	0.38	0.038	1.1	89.2	6.2	38.8	41.4	37.1	13.1	4.0	18.6	14.0	28.0	3,356	6,216	5,322	1.84		✓	
25	26.7	18.4	44.8	30.3	17.8	17.4	12.6	0.38	0.038	1.7	89.9	6.4	39.2	42.0	37.6	13.4	4.1	18.8	14.1	28.0	3,398	6,136	5,342	1.81		✓	
30	26.9	18.7	45.1	19.1	14.5	17.3	12.9	0.39	0.042	2.3	89.8	7.6	47.9	16.5	46.3	15.7	4.2	19.3	17.5	28.8	3,500	6,412	1,631	1.83	✓		
35	26.3	18.6	47.3	16.8	13.4	16.7	12.9	0.39	0.042	2.8	91.1	6.8	47.3	16.1	45.3	14.9	4.2	19.2	17.4	28.9	3,433	6,332	502	1.84	✓		
40	25.8	18.4	48.5	16.1	12.9	16.2	12.7	0.40	0.042	2.3	93.2	6.7	47.4	15.7	45.4	14.9	4.1	19.0	17.3	29.0	3,444	6,308	198	1.83	✓		
45	25.4	18.1	48.5	15.6	12.5	15.7	12.4	0.40	0.041	2.1	93.5	6.4	47.1	15.5	45.2	14.6	4.1	18.9	17.2	29.1	3,430	6,258	98	1.82	✓		
50	25.1	17.9	48.6	15.3	12.3	15.6	12.2	0.40	0.041	1.4	92.6	6.4	46.7	15.1	44.8	14.5	4.1	18.8	17.1	29.1	3,420	6,215	97	1.82	✓		
55	24.9	17.7	48.6	15.1	12.1	15.4	12.0	0.40	0.041	1.3	92.4	5.9	46.5	14.8	44.7	14.1	4.1	18.7	17.0	29.1	3,402	6,173	96	1.81	✓		
60	24.7	17.5	48.7	14.8	11.7	15.1	11.7	0.40	0.041	1.1	91.5	5.8	46.1	14.8	44.2	13.8	4.1	18.7	17.0	29.2	3,373	6,243	0	1.85	✓		
65	24.6	17.4	48.7	14.7	11.6	15.0	11.6	0.40	0.041	1.0	90.8	5.7	46.0	14.7	44.1	13.8	4.1	18.6	16.9	29.2	3,362	6,220	0	1.85	✓		
70	24.4	17.3	48.8	14.5	11.5	14.9	11.5	0.40	0.041	0.9	90.8	5.7	45.9	14.6	44.2	13.6	4.0	18.5	16.8	29.2	3,358	6,200	0	1.84	✓		
75	24.2	17.2	49.2	14.4	11.4	14.7	11.4	0.40	0.041	0.9	90.2	5.5	45.7	14.4	43.8	13.3	4.0	18.5	16.8	29.3	3,346	6,190	0	1.85	✓		
80	24.0	17.1	49.6	14.2	11.3	14.6	11.3	0.40	0.041	0.7	89.9	5.3	45.5	14.3	43.7	13.5	4.0	18.4	16.7	29.3	3,333	6,170	0	1.85	✓		
85	23.9	17.0	49.5	14.1	11.2	14.5	11.2	0.40	0.041	0.5	89.8	5.4	45.7	14.2	43.7	13.3	4.0	18.4	16.7	29.3	3,359	6,149	0	1.83	✓		
90	23.8	17.0	49.8	14.1	11.2	14.4	11.2	0.40	0.041	0.7	89.7	5.3	45.5	13.9	43.7	13.3	4.0	18.3	16.7	29.4	3,331	6,161	0	1.84	✓		
95	23.7	16.9	49.9	14.0	11.0	14.3	11.0	0.40	0.041	0.4	89.1	5.3	45.4	14.0	43.8	13.2	3.9	18.3	16.6	29.4	3,346	6,235	0	1.86	✓		
100	23.6	16.8	49.8	13.8	10.9	14.1	10.9	0.40	0.041	0.6	89.3	5.1	45.4	14.0	43.7	13.1	3.9	18.3	16.6	29.4	3,332	6,219	0	1.86	✓		
105	23.5	16.8	50.3	13.8	10.9	14.0	10.9	0.40	0.041	0.8	89.2	5.0	45.4	14.0	43.7	13.0	3.9	18.3	16.6	29.4	3,307	6,217	0	1.86	✓		
110	23.7	17.1	51.1	21.7	13.8	14.5	11.0	0.39	0.038	-0.2	76.2	5.6	40.8	29.7	30.9	10.8	3.8	16.2	11.6	28.8	3,210	6,316	2,834	1.97			✓
115	24.4	17.2	48.1	22.9	14.1	14.9	11.1	0.39	0.038	-0.5	72.0	5.5	40.2	29.9	30.4	10.9	3.8	16.3	11.6	28.6	3,182	6,306	2,927	1.98			✓
120	24.8	17.2	46.2	23.4	14.2	15.2	11.1	0.39	0.038	-0.5	71.8	5.3	40.4	30.0	30.6	10.9	3.9	16.4	11.5	28.6	3,142	6,299	3,027	2.01			✓

หมายเหตุ T*_{db} , T*_{wb} คือ อุณหภูมิของอากาศก่อนไหลเข้า Reheat coil, ข้อมูลรูป 4-4 (แสดงวัฏจักรของระบบปรับอากาศทั้ง 3 ระบบบนแผนภูมิ P-h)

ตารางที่ 4 - 3 (ต่อ) แสดงผลการทดลองของระบบ Reheat แบบที่ 3 ระบบผสม ที่ SHR = 0.65

Load Sensible Heat = 3,742 W , Latent Heat = 2,062 W

Time (min.)	Entering Air		RH (%)	Leaving Air				\dot{m}_a (Kg/s)	\dot{m}_r (Kg/s)	T _{suc.} (°C)	T _{dis.} (°C)	T _e (°C)	T _c (°C)	T _{reh.} (°C)	T ₁₃ (°C)	T ₁₄ (°C)	Pressure (kg/cm ²)			Pdiff. mmH ₂ O	Winput (W)	Q _T (W)	Q _R (W)	COP	Test Condition			
	T _{db1} (°C)	T _{wb1} (°C)		T _{db2} (°C)	T _{wb2} (°C)	T* _{db} (°C)	T* _{wb} (°C)										Psuc.	Pdis.	Pexp.in						Normal	Reheat		
																										Before	After	
125	25.1	17.3	45.8	23.5	14.5	15.4	11.2	0.39	0.038	-0.7	71.7	5.3	40.7	30.2	30.8	10.9	3.9	16.6	11.7	28.6	3,140	6,318	3,243	2.01			✓	
130	25.4	17.5	45.6	23.8	14.8	15.7	11.4	0.39	0.038	-0.6	72.0	5.4	40.9	30.4	31.0	11.2	3.9	16.6	11.7	28.5	3,152	6,347	3,363	2.01			✓	
135	25.6	17.7	45.4	24.0	15.0	16.1	11.6	0.39	0.038	-0.4	72.4	5.5	41.2	30.5	31.2	11.2	3.9	16.7	11.8	28.5	3,178	6,387	3,384	2.01			✓	
140	25.8	17.8	45.2	24.2	15.0	16.3	11.7	0.39	0.038	-0.3	73.0	5.6	41.3	30.9	31.9	11.7	3.9	16.7	11.8	28.5	3,172	6,372	3,290	2.01			✓	
145	25.9	17.8	45.1	24.3	15.1	16.4	11.8	0.39	0.038	-0.2	73.8	5.6	41.3	31.2	31.7	11.7	3.9	16.8	11.9	28.4	3,182	6,303	3,295	1.98			✓	
150	26.0	17.9	44.9	24.5	15.1	16.5	11.9	0.39	0.038	-0.1	73.8	5.6	42.0	31.2	31.8	11.6	3.9	16.8	11.9	28.4	3,192	6,312	3,328	1.99			✓	
155	25.7	18.0	46.6	15.9	12.9	16.1	12.3	0.40	0.041	1.7	90.2	6.1	47.2	14.7	45.4	14.8	4.4	19.0	17.4	29.0	3,458	6,215	592	1.80	✓			
160	25.3	17.8	47.3	15.7	12.3	15.8	12.0	0.40	0.041	2.0	88.2	6.3	47.0	14.9	45.4	14.6	4.3	18.9	17.3	29.0	3,448	6,273	291	1.82	✓			
165	25.1	17.7	47.8	15.6	12.2	15.5	12.0	0.40	0.041	1.6	89.0	6.0	46.5	15.2	45.2	14.0	4.2	18.8	17.2	29.0	3,418	6,157	95	1.80	✓			
170	24.9	17.6	48.1	15.3	11.9	15.5	11.8	0.40	0.041	1.4	88.2	5.8	46.3	15.0	44.8	13.8	4.1	18.8	17.1	29.0	3,401	6,235	95	1.83	✓			
175	24.7	17.5	48.5	14.8	11.8	15.2	11.7	0.40	0.041	1.2	89.2	5.7	46.4	14.8	44.6	13.6	4.1	18.7	17.1	29.1	3,392	6,229	0	1.84	✓			
180	24.5	17.4	48.6	14.7	11.6	15.1	11.6	0.40	0.041	1.0	90.2	5.7	46.3	14.7	44.4	13.7	4.1	18.6	17.0	29.2	3,382	6,219	0	1.83	✓			
185	24.3	17.2	48.7	14.6	11.4	14.9	11.4	0.40	0.041	0.8	90.1	5.6	46.1	14.4	44.0	13.5	4.0	18.5	16.9	29.2	3,380	6,176	0	1.83	✓			
190	24.2	17.1	48.6	14.5	11.3	14.8	11.3	0.40	0.041	0.6	89.4	5.5	45.9	14.3	43.8	13.4	4.0	18.5	16.9	29.2	3,374	6,156	0	1.82	✓			
195	24.1	17.0	48.7	14.3	11.1	14.7	11.1	0.40	0.041	0.4	89.2	5.4	45.2	14.1	43.6	13.2	4.0	18.5	16.8	29.2	3,352	6,231	0	1.85	✓			
200	23.8	16.9	49.2	14.3	11.0	14.6	11.0	0.40	0.041	0.3	88.9	5.4	45.5	14.1	43.2	13.1	3.9	18.4	16.7	29.3	3,348	6,220	0	1.85	✓			
205	23.6	16.8	49.4	14.1	10.9	14.5	10.9	0.40	0.041	0.2	88.6	5.3	45.2	14.3	43.9	13.1	3.9	18.4	16.7	29.3	3,335	6,200	0	1.85	✓			
210	23.5	16.7	49.7	14.0	10.8	14.4	10.8	0.40	0.041	0.1	88.7	5.2	45.2	14.1	43.5	13.0	3.9	18.4	16.7	29.3	3,352	6,179	0	1.84	✓			
215																												
220																												
225																												
230																												
235																												
240																												
245																												

หมายเหตุ T*_{db} , T*_{wb} คือ อุณหภูมิของอากาศก่อนไหลเข้า Reheat coil

ตารางที่ 4-4 แสดงผลการทดลองของระบบ Reheat แบบที่ 1 (Reheat ก่อนผ่านการระบายความร้อนที่ Condenser) ที่ SHR = 0.55

Load Sensible Heat = 3,212 W , Latent Heat = 2,584 W

Time (min.)	Entering Air		RH (%)	Leaving Air				\dot{m}_s (Kg/s)	\dot{m}_r (Kg/s)	T _{suc.} (°C)	T _{dis.} (°C)	T _e (°C)	T _c (°C)	T _{reh.} (°C)	T ₁₃ (°C)	T ₁₄ (°C)	Pressure (kg/cm ²)			Pd _{diff.} mmH ₂ O	Win _{input} (W)	Q _r (W)	Q _R (W)	COP	Test Condition		
	T _{db1} (°C)	T _{wb1} (°C)		T _{db2} (°C)	T _{wb2} (°C)	T* _{db} (°C)	T* _{wb} (°C)										P _{suc.}	P _{dis.}	P _{exp.in}						Normal	Reheat	
																											Before
0	23.5	18.5	61.5	15.0	12.6	15.0	12.6	0.40	0.042	7.0	96.2	5.9	46.2	15.0	44.4	14.1	4.2	18.6	17.0	29.1	3,385	6,567	0	1.94	✓		
5	24.1	18.9	60.7	27.5	17.4	15.8	12.8	0.38	0.040	1.6	90.9	6.2	38.0	41.5	36.3	13.0	4.1	18.6	13.7	28.2	3,375	6,608	4,832	1.96		✓	
10	24.9	19.0	56.8	29.2	17.9	16.4	12.9	0.38	0.040	2.2	90.7	6.2	38.7	41.9	37.0	13.2	4.2	18.7	13.8	28.1	3,400	6,597	5,285	1.94		✓	
15	25.6	19.1	53.7	29.9	18.1	17.0	13.1	0.38	0.040	2.1	91.1	6.3	38.8	42.1	36.9	13.3	4.2	18.8	14.0	28.1	3,405	6,513	5,317	1.92		✓	
20	26.2	19.2	51.3	30.3	18.2	17.4	13.2	0.38	0.040	2.7	91.5	6.5	39.1	42.7	37.4	13.7	4.2	19.0	14.1	28.0	3,415	6,519	5,322	1.91		✓	
25	26.7	19.3	49.5	30.7	18.4	17.9	13.3	0.38	0.040	2.7	92.0	6.7	39.4	43.1	37.8	13.9	4.2	19.1	14.2	27.9	3,430	6,522	5,444	1.90		✓	
30	27.0	19.4	48.6	30.8	18.5	18.1	13.4	0.38	0.040	3.0	92.0	6.6	39.6	43.5	37.9	14.0	4.2	19.1	14.2	27.9	3,441	6,520	5,447	1.90		✓	
35	27.1	19.4	48.2	19.3	14.5	17.8	13.4	0.39	0.043	3.1	92.0	7.4	48.1	17.2	46.1	15.8	4.4	19.3	17.5	28.7	3,518	6,702	1,129	1.92	✓		
40	26.5	19.1	49.3	17.1	13.5	17.1	13.1	0.39	0.043	4.3	93.5	6.9	47.3	16.5	45.5	15.1	4.4	19.3	17.5	28.7	3,472	6,698	371	1.92	✓		
45	25.9	18.9	51.0	16.3	13.2	16.7	13.0	0.39	0.043	6.5	95.2	6.5	47.3	16.3	45.4	14.9	4.3	19.2	17.4	28.7	3,456	6,590	198	1.91	✓		
50	25.5	18.7	51.8	16.0	13.1	16.5	12.8	0.39	0.042	5.4	95.9	6.7	47.3	16.0	45.5	14.9	4.3	19.1	17.3	28.7	3,440	6,544	123	1.90	✓		
55	25.2	18.7	53.3	15.7	12.8	16.1	12.7	0.40	0.043	5.4	95.6	6.3	47.1	15.9	45.4	14.6	4.3	19.0	17.2	28.8	3,463	6,675	98	1.93	✓		
60	25.0	18.6	53.7	15.6	12.6	16.1	12.6	0.40	0.043	5.3	95.3	6.1	47.1	15.6	45.1	14.5	4.3	19.0	17.2	28.8	3,450	6,640	0	1.92	✓		
65	24.8	18.5	53.9	15.3	12.5	15.9	12.5	0.40	0.093	4.5	95.2	5.8	46.8	15.5	45.0	14.4	4.3	18.9	17.1	28.8	3,440	6,596	0	1.92	✓		
70	24.6	18.4	54.6	15.2	12.4	15.8	12.4	0.40	0.043	4.4	94.7	5.9	46.6	15.4	44.8	14.3	4.2	18.9	17.1	28.9	3,430	6,609	0	1.93	✓		
75	24.5	18.4	55.1	15.1	12.4	15.7	12.4	0.40	0.043	2.5	94.7	5.9	46.5	15.2	44.7	14.3	4.2	18.8	17.0	29.0	3,424	6,622	0	1.93	✓		
80	24.9	18.8	55.6	27.4	17.2	16.4	12.7	0.38	0.040	1.8	89.9	5.9	38.4	41.2	36.6	12.9	4.1	18.6	13.8	28.1	3,373	6,567	4,692	1.95		✓	
85	25.6	19.0	53.1	29.3	17.9	17.1	12.9	0.38	0.040	2.1	90.1	6.1	38.7	41.8	36.9	13.2	4.2	18.8	14.0	28.1	3,398	6,590	5,282	1.94		✓	
90	26.4	19.2	50.3	30.1	18.2	17.7	13.2	0.38	0.040	2.7	90.9	6.3	38.9	42.5	37.1	13.5	4.2	18.9	14.0	28.0	3,417	6,517	5,323	1.92		✓	
95	27.0	19.3	48.1	30.6	18.4	18.2	13.3	0.38	0.040	3.1	91.5	6.6	39.2	43.2	37.5	13.9	4.3	19.0	14.1	28.0	3,402	6,532	5,453	1.92		✓	
100	27.1	19.4	48.2	19.7	14.6	18.6	13.6	0.39	0.043	3.2	91.1	7.6	47.8	17.1	46.0	15.9	4.4	19.2	17.5	28.6	3,492	6,549	1,028	1.88	✓		
105	26.6	19.2	49.4	17.0	13.8	17.9	13.4	0.39	0.043	6.0	93.4	6.4	46.9	16.5	45.2	14.9	4.3	19.0	17.3	28.7	3,436	6,545	403	1.90	✓		
110	26.0	19.0	51.1	16.3	13.3	16.9	13.2	0.39	0.043	6.9	95.2	6.4	47.0	16.1	45.2	14.8	4.3	19.0	17.2	28.8	3,444	6,524	99	1.89	✓		
115	25.6	18.8	51.9	16.0	12.9	16.5	12.9	0.39	0.043	6.0	95.5	6.3	46.8	15.9	45.2	14.7	4.3	19.0	17.2	28.8	3,439	6,583	0	1.91	✓		
120	25.5	18.6	52.1	15.7	12.7	16.3	12.7	0.40	0.043	5.7	95.4	6.1	46.8	15.6	44.9	14.6	4.2	18.8	17.0	28.9	3,430	6,549	0	1.91	✓		

หมายเหตุ T*_{db} , T*_{wb} คือ อุณหภูมิของอากาศก่อนไหลเข้า Reheat coil , ข้อมูลรูป 4-5 (แสดงขบวนการทำความเย็นของระบบที่ 1 ที่ SHR = 0.55)

ตารางที่ 4 - 4 (ต่อ) แสดงผลการทดลองของระบบ Reheat แบบที่ 1 (Reheat ก่อนผ่านการระบายความร้อนที่ Condenser) ที่ SHR = 0.55

Load Sensible Heat = 3,212 W , Latent Heat = 2,584 W

Time (min.)	Entering Air		RH (%)	Leaving Air				\dot{m}_a (Kg/s)	\dot{m}_r (Kg/s)	Tsuc. (°C)	Tdis. (°C)	Te (°C)	Tc (°C)	Treh. (°C)	T ₁₃ (°C)	T ₁₄ (°C)	Pressure (kg/cm ²)			Pdiff. mmH ₂ O	Winput (W)	Q _r (W)	Q _R (W)	COP	Test Condition			
	T _{db1} (°C)	T _{wb1} (°C)		T _{db2} (°C)	T _{wb2} (°C)	T* _{db} (°C)	T* _{wb} (°C)										Psuc.	Pdis.	Pexp.in						Normal	Reheat		
																										Before	After	
125	25.1	18.6	53.2	15.5	12.6	16.1	12.6	0.40	0.043	5.8	95.0	6.2	46.5	15.4	44.7	14.3	4.2	18.8	17.0	28.9	3,425	6,653	0	1.94	✓			
130	24.9	18.4	53.2	15.3	12.4	15.8	12.4	0.40	0.043	4.9	94.8	5.8	46.4	15.2	44.8	14.2	4.1	18.7	17.0	29.0	3,430	6,685	0	1.93	✓			
135	24.7	18.3	53.5	15.1	12.3	15.6	12.3	0.40	0.043	4.0	94.1	5.7	46.2	14.9	44.5	14.1	4.1	18.7	17.0	29.0	3,410	6,598	0	1.93	✓			
140	24.6	18.3	54.3	15.0	12.3	15.5	12.3	0.40	0.043	3.8	93.7	5.3	46.6	14.8	44.3	14.0	4.1	18.6	17.0	29.0	3,400	6,600	0	1.94	✓			
145	24.4	18.2	55.1	14.8	12.2	15.3	12.2	0.40	0.043	3.7	93.6	5.4	46.1	14.7	44.3	13.8	4.1	18.6	17.0	29.0	3,397	6,579	0	1.93	✓			
150																												
155																												
160																												
165																												
170																												
175																												
180																												
185																												
190																												
195																												
200																												
205																												
210																												
215																												
220																												
225																												
230																												
235																												
240																												
245																												

หมายเหตุ T*_{db} , T*_{wb} คือ อุณหภูมิของอากาศก่อนไหลเข้า Reheat coil

ตารางที่ 4 - 5 แสดงผลการทดลองของระบบ Reheat แบบที่ 2 (Reheat หลังผ่านการระบายความร้อนที่ Condenser) ที่ SHR = 0.55

Load Sensible Heat = 3,212 W , Latent Heat = 2,584 W

Time (min.)	Entering Air		RH (%)	Leaving Air				\dot{m}_a (Kg/s)	\dot{m}_r (Kg/s)	T _{suc.} (°C)	T _{dis.} (°C)	T _e (°C)	T _c (°C)	T _{reh.} (°C)	T ₁₃ (°C)	T ₁₄ (°C)	Pressure (kg/cm ²)			Pdiff. mmH ₂ O	Winput (W)	Q _T (W)	Q _R (W)	COP	Test Condition		
	T _{db1} (°C)	T _{wb1} (°C)		T _{db2} (°C)	T _{wb2} (°C)	T* _{db} (°C)	T* _{wb} (°C)										P _{suc.}	P _{dis.}	P _{exp.in}						Normal	Reheat	
																										Before	After
0	23.5	18.5	61.5	15.0	12.6	15.0	12.6	0.40	0.042	5.9	94.8	6.2	46.1	15.0	44.2	14.3	4.2	18.6	16.9	29.1	3,388	6,567	0	1.94	✓		
5	23.8	15.8	59.7	22.6	15.2	15.3	12.4	0.39	0.040	0.3	83.4	5.7	40.9	30.4	31.3	11.9	4.0	16.6	11.6	28.6	3,179	6,617	2,850	2.08			✓
10	24.3	18.4	56.3	23.4	15.4	15.5	12.2	0.39	0.040	0.3	79.4	5.4	41.0	30.3	31.2	11.3	4.0	16.5	11.6	28.6	3,142	6,677	3,252	2.12			✓
15	24.6	18.4	54.6	23.6	15.4	15.8	12.2	0.39	0.040	0.3	78.3	5.3	41.0	30.4	31.3	11.6	4.0	16.6	11.7	28.5	3,155	6,660	3,245	2.11			✓
20	25.0	18.5	53.1	23.8	15.5	16.0	12.3	0.39	0.040	0.1	77.9	5.2	41.1	30.5	31.3	11.6	4.0	16.6	11.7	28.5	3,150	6,681	3,255	2.12			✓
25	25.2	18.5	52.1	24.0	15.6	16.3	12.3	0.39	0.040	0.3	77.8	5.5	41.2	30.7	31.6	11.7	4.0	16.7	11.8	28.5	3,172	6,676	3,361	2.10			✓
30	25.5	18.6	51.2	24.2	15.7	16.5	12.4	0.39	0.040	0.3	78.2	5.5	41.5	31.0	31.7	11.6	4.0	16.8	11.9	28.5	3,191	6,697	3,371	2.10			✓
35	25.7	18.7	50.8	24.4	15.8	16.7	12.5	0.39	0.040	0.2	78.7	5.5	41.6	31.1	32.0	11.7	4.0	16.9	11.9	28.5	3,186	6,719	3,382	2.11			✓
40	25.9	18.8	50.4	24.6	15.9	16.9	12.7	0.39	0.040	0.6	79.1	5.6	41.8	31.2	32.1	12.1	4.0	16.9	12.0	28.5	3,179	6,644	3,296	2.09			✓
45	26.1	18.9	50.0	24.7	16.0	17.1	12.8	0.39	0.040	0.9	79.4	5.8	42.8	31.4	32.4	12.1	4.0	17.0	12.1	28.5	3,189	6,666	3,307	2.09			✓
50	26.2	19.0	50.1	24.9	16.1	17.2	12.9	0.39	0.040	0.8	79.9	6.0	42.0	31.6	32.5	12.2	4.0	17.0	12.1	28.5	3,190	6,688	3,318	2.10			✓
55	26.4	19.0	49.2	25.0	16.2	17.3	12.9	0.39	0.040	0.9	80.4	6.0	42.1	31.7	32.6	12.5	4.0	17.1	12.1	28.5	3,204	6,685	3,412	2.09			✓
60	26.6	19.1	48.7	25.1	16.2	17.5	13.0	0.39	0.040	1.0	80.7	6.1	42.2	31.8	32.6	12.3	4.0	17.1	12.1	28.4	3,202	6,694	3,338	2.09			✓
65	26.7	19.7	48.3	25.2	16.2	17.6	13.0	0.39	0.040	1.0	81.2	6.0	42.3	32.0	32.7	12.4	4.1	17.2	12.2	28.4	3,220	6,695	3,321	2.08			✓
70	26.9	19.2	47.9	25.3	16.3	17.7	13.1	0.39	0.040	1.2	81.3	6.0	42.2	31.9	32.7	12.5	4.1	17.2	12.2	28.4	3,213	6,718	3,333	2.09			✓
75	27.0	19.3	48.1	25.3	16.4	17.9	13.2	0.39	0.040	1.1	81.4	6.1	42.3	31.9	32.8	12.6	4.1	17.2	12.2	28.4	3,222	6,741	3,344	2.09			✓
80	26.8	19.6	50.7	17.7	14.7	17.8	13.8	0.39	0.043	3.5	94.4	6.7	47.3	17.2	45.1	15.8	4.5	19.6	16.0	28.7	3,496	6,634	933	1.90	✓		
85	26.3	29.5	52.6	17.1	14.2	17.5	13.7	0.39	0.043	3.0	90.8	7.1	47.0	16.7	46.1	16.5	4.3	19.3	16.1	28.7	3,482	6,621	513	1.91	✓		
90	25.9	19.4	54.0	16.6	13.7	17.2	13.6	0.39	0.043	4.5	90.4	6.9	47.7	16.5	45.5	15.6	4.3	19.1	16.3	28.8	3,491	6,618	100	1.90	✓		
95	25.6	19.1	53.8	16.1	13.2	16.7	13.2	0.39	0.043	5.7	93.2	6.6	49.9	16.1	45.2	15.1	4.3	19.1	16.7	28.9	3,442	6,666	0	1.94	✓		
100	25.4	18.9	53.9	15.9	13.0	16.5	13.0	0.40	0.043	5.7	94.7	6.2	46.8	15.9	45.0	14.8	4.3	19.0	17.0	29.0	3,447	6,631	0	1.92	✓		
105	25.2	18.9	54.9	15.7	13.0	16.3	13.0	0.40	0.044	6.3	94.8	6.2	46.6	16.0	44.8	14.8	4.3	19.0	17.0	29.0	3,431	6,635	0	1.93	✓		
110	25.4	19.0	54.1	23.4	15.7	16.5	12.9	0.39	0.040	0.6	84.2	5.9	41.7	31.0	31.9	12.1	4.0	16.8	11.9	28.6	3,202	6,722	2,895	2.10			✓
115	25.8	19.0	52.1	24.1	15.9	16.8	12.9	0.39	0.040	0.7	81.1	5.8	41.5	31.0	31.7	11.9	4.0	16.8	11.9	28.6	3,176	6,712	3,109	2.11			✓
120	26.1	19.0	50.6	20.4	16.0	17.0	12.9	0.39	0.040	0.6	80.1	5.8	41.5	31.0	31.7	11.6	4.0	16.8	11.9	28.6	3,172	6,706	3,217	2.11			✓

หมายเหตุ T*_{db} , T*_{wb} คือ อุณหภูมิของอากาศก่อนไหลเข้า Reheat coil

ตารางที่ 4 - 5 (ต่อ) แสดงผลการทดลองของระบบ Reheat แบบที่ 2 (Reheat หลังผ่านการระบายความร้อนที่ Condenser) ที่ SHR = 0.55

Load Sensible Heat = 3,212 W , Latent Heat = 2,584 W

Time (min.)	Entering Air		RH (%)	Leaving Air				\dot{m}_a (Kg/s)	\dot{m}_r (Kg/s)	Tsuc. (°C)	Tdis. (°C)	Te (°C)	Tc (°C)	Treh. (°C)	T ₁₃ (°C)	T ₁₄ (°C)	Pressure (kg/cm ²)			Pdiff. mmH ₂ O	Winput (W)	Q _T (W)	Q _R (W)	COP	Test Condition		
	T _{db1} (°C)	T _{wb1} (°C)		T _{db2} (°C)	T _{wb2} (°C)	T* _{db} (°C)	T* _{wb} (°C)										Psuc.	Pdis.	Pexp,in						Normal	Reheat	
																										Before	After
125	26.3	19.0	49.6	24.5	16.0	17.2	12.9	0.39	0.040	0.4	79.6	5.6	41.3	31.1	31.7	12.0	4.0	16.9	12.0	28.6	3,178	6,704	3,216	2.11			✓
130	26.5	19.1	49.2	24.7	16.1	17.4	13.0	0.39	0.040	1.0	80.0	5.9	41.7	31.4	32.0	12.2	4.0	16.9	12.0	28.5	3,194	6,713	3,220	2.10			✓
135	26.7	19.2	48.9	24.8	16.2	17.6	13.1	0.39	0.040	0.7	80.3	5.9	41.9	31.3	32.1	12.3	4.0	16.9	12.0	28.5	3,192	6,736	3,231	2.11			✓
140	26.9	19.3	48.5	25.0	16.3	17.7	13.2	0.39	0.040	1.1	80.4	6.0	42.0	31.6	32.3	12.4	4.0	17.0	12.0	28.5	3,190	6,758	3,242	2.12			✓
145	26.7	19.4	50.1	17.2	14.6	17.7	13.6	0.39	0.043	3.0	94.5	6.8	47.3	15.6	45.3	15.7	4.5	19.4	16.8	29.0	3,542	6,623	1,037	1.87	✓		
150	26.3	19.4	52.0	16.8	14.0	17.4	13.6	0.39	0.043	3.1	89.4	6.1	46.2	16.0	45.0	16.0	4.3	19.2	16.7	29.0	3,492	6,635	409	1.90	✓		
155	25.9	19.2	52.8	16.4	13.5	17.0	13.4	0.39	0.043	3.0	89.8	5.9	46.3	16.1	45.2	15.2	4.3	19.0	16.0	29.0	3,463	6,595	100	1.90	✓		
160	25.6	19.0	53.1	16.0	13.2	16.7	13.2	0.40	0.043	5.0	92.5	6.2	46.7	16.0	45.1	14.8	4.2	8.9	16.0	29.1	3,450	6,563	0	1.90	✓		
165	25.4	18.9	53.5	15.7	13.0	16.5	13.0	0.40	0.043	5.7	94.4	6.1	46.7	15.7	44.8	14.6	4.2	18.9	16.0	29.1	3,443	6,645	0	1.93	✓		
170	25.2	18.8	54.2	15.6	12.9	16.2	12.9	0.40	0.043	5.3	94.4	6.1	46.6	15.7	44.9	14.5	4.2	18.8	16.0	29.2	3,437	6,635	0	1.93	✓		
175	25.0	18.8	55.0	15.4	12.9	16.0	12.9	0.40	0.043	5.6	94.2	6.2	46.6	15.6	44.9	14.4	4.7	18.8	16.0	29.2	3,430	6,638	0	1.94	✓		
180																											
185																											
190																											
195																											
200																											
205																											
210																											
215																											
220																											
225																											
230																											
235																											
240																											
245																											

หมายเหตุ T*_{db} , T*_{wb} คือ อุณหภูมิของอากาศก่อนไหลเข้า Reheat coil

ตารางที่ 4 - 6 แสดงผลการทดลองของระบบ Reheat แบบที่ 3 ระบบผสม ที่ SHR = 0.55

Load Sensible Heat = 3,212 W , Latent Heat = 2,584 W

Time (min.)	Entering Air		RH (%)	Leaving Air				\dot{m}_a (Kg/s)	\dot{m}_r (Kg/s)	T _{suc.} (°C)	T _{dis.} (°C)	T _e (°C)	T _c (°C)	T _{reh.} (°C)	T ₁₃ (°C)	T ₁₄ (°C)	Pressure (kg/cm ²)			Pdiff. mmH ₂ O	Winput (W)	Q _r (W)	Q _R (W)	COP	Test Condition		
	T _{db1} (°C)	T _{wb1} (°C)		T _{db2} (°C)	T _{wb2} (°C)	T* _{db} (°C)	T* _{wb} (°C)										Psuc.	Pdis.	Pexp,in						Normal	Reheat	
																		Before	After								
0	23.5	18.5	61.5	15.0	12.6	15.0	12.6	0.40	0.043	4.9	93.9	6.7	46.1	15.2	44.4	14.5	4.2	18.8	17.0	29.1	3,394	6,567	0	1.93	✓		
5	24.1	18.9	60.7	27.2	17.3	15.8	12.8	0.38	0.041	2.1	90.0	6.9	38.1	41.3	36.4	13.2	4.1	18.6	13.8	28.3	3,380	6,623	4,729	1.96		✓	
10	24.8	18.9	56.7	29.0	17.8	16.4	12.8	0.38	0.041	1.8	90.4	6.7	38.4	41.6	36.8	13.4	4.1	18.7	13.9	28.2	3,409	6,586	5,277	1.93		✓	
15	25.5	19.1	54.2	29.8	18.1	17.1	13.0	0.38	0.041	2.7	90.9	6.8	38.8	42.2	37.0	13.5	4.2	18.9	14.0	28.1	3,425	6,609	5,413	1.93		✓	
20	26.2	19.3	51.9	30.4	18.4	17.7	13.2	0.38	0.041	2.4	91.5	7.1	39.2	42.9	37.5	13.9	4.3	19.0	14.1	28.1	3,410	6,647	5,563	1.94		✓	
25	26.8	19.5	50.2	30.8	18.6	18.1	13.5	0.38	0.041	3.2	92.1	7.4	39.6	43.4	37.7	14.3	4.3	19.0	14.1	28.0	3,382	6,572	5,492	1.92		✓	
30	27.0	19.5	49.2	31.0	18.6	18.3	13.5	0.38	0.041	2.9	92.2	7.4	39.7	43.5	37.9	14.2	4.3	19.0	14.1	28.0	3,399	6,577	5,490	1.93		✓	
35	27.0	19.6	49.7	18.9	14.5	18.0	13.8	0.39	0.043	3.3	92.4	8.0	48.2	17.5	46.5	15.9	4.4	19.2	17.5	28.8	3,505	6,636	725	1.89	✓		
40	26.3	19.2	50.8	17.0	13.6	17.3	13.3	0.39	0.044	6.8	94.4	7.4	47.4	16.8	45.5	15.4	4.3	19.1	17.4	28.8	3,449	6,664	302	1.93	✓		
45	25.9	19.1	52.2	16.4	13.3	16.8	13.2	0.39	0.044	7.2	95.8	7.3	47.3	16.6	45.4	15.2	4.3	19.1	17.4	28.9	3,463	6,662	99	1.92	✓		
50	25.6	19.0	53.1	16.1	13.2	16.6	13.1	0.40	0.044	6.3	96.0	7.1	47.3	16.3	45.4	15.1	4.3	19.0	17.3	29.0	3,463	6,640	99	1.92	✓		
55	25.3	18.8	53.4	15.8	12.9	16.4	12.9	0.40	0.043	6.1	95.9	6.9	46.9	16.1	45.1	14.9	4.3	19.0	17.3	29.0	3,444	6,608	0	1.92	✓		
60	25.1	18.7	53.8	15.7	12.8	16.1	12.8	0.40	0.043	5.0	95.3	6.7	46.9	15.9	45.1	14.7	4.3	19.0	17.2	29.0	3,410	6,542	0	1.91	✓		
65	24.9	18.6	54.1	15.5	12.6	16.0	12.6	0.40	0.044	5.0	95.1	6.6	46.7	15.8	44.7	14.6	4.2	19.0	17.1	29.1	3,430	6,572	0	1.92	✓		
70	24.8	18.5	54.1	15.4	12.6	15.8	12.6	0.40	0.043	4.6	94.9	6.7	46.4	15.7	44.7	14.5	4.2	18.9	17.1	29.1	3,420	6,555	0	1.92	✓		
75	24.6	18.4	54.6	15.3	12.5	15.8	12.5	0.40	0.043	4.9	94.5	6.3	46.3	15.5	44.6	14.5	4.2	18.8	17.0	29.1	3,410	6,532	0	1.92	✓		
80	24.4	18.4	55.5	15.2	12.4	15.7	12.4	0.40	0.043	3.0	94.3	6.3	46.5	15.6	44.6	14.4	4.2	18.8	17.0	29.1	3,407	6,633	0	1.94	✓		
85	24.7	18.7	56.0	22.1	15.3	16.0	12.5	0.39	0.040	0.6	85.2	6.4	41.8	31.0	31.9	12.3	4.0	16.8	12.0	28.5	3,202	6,749	2,855	2.11			✓
90	24.9	18.8	55.5	23.5	15.7	16.4	12.7	0.39	0.040	0.7	84.3	6.6	41.7	31.1	31.8	12.3	4.0	16.8	12.0	28.5	3,201	6,660	3,085	2.08			✓
95	25.2	18.9	54.5	24.4	15.9	16.6	12.8	0.39	0.040	0.6	83.8	6.5	41.7	31.2	31.6	12.2	4.0	16.8	12.0	28.5	3,191	6,671	3,210	2.09			✓
100	25.6	19.0	53.1	24.4	16.0	16.8	12.9	0.39	0.040	0.9	82.2	6.2	41.5	31.1	31.8	12.2	4.0	16.8	11.9	28.5	3,172	6,697	3,212	2.11			✓
105	25.9	19.0	51.6	24.4	16.0	16.9	12.9	0.39	0.040	0.4	81.5	6.2	41.4	31.0	31.7	12.0	4.0	16.8	11.9	28.3	3,169	6,696	3,211	2.11			✓
110	26.2	19.0	50.1	24.4	15.9	17.1	12.9	0.39	0.040	0.6	80.9	6.1	41.3	31.0	31.7	11.9	4.0	16.8	11.9	28.4	3,182	6,702	3,097	2.11			✓
115	26.4	19.0	49.1	24.5	16.0	17.2	12.9	0.39	0.040	0.7	80.8	6.3	41.3	31.1	31.8	12.0	4.0	16.8	11.9	28.4	3,198	6,712	3,204	2.10			✓
120	26.6	19.3	48.5	24.7	16.1	17.4	12.9	0.39	0.040	0.6	80.8	6.3	41.7	31.4	32.0	12.3	4.0	16.8	11.9	28.4	3,185	6,682	3,312	2.10			✓

หมายเหตุ T*_{db} , T*_{wb} คือ อุณหภูมิของอากาศก่อนไหลเข้า Reheat coil

ตารางที่ 4 - 6 (ต่อ) แสดงผลการทดลองของระบบ Reheat แบบที่ 3 ระบบผสม ที่ SHR = 0.55

Load Sensible Heat = 3,212 W , Latent Heat = 2,584 W

Time (min.)	Entering Air		RH (%)	Leaving Air				\dot{m}_a (Kg/s)	\dot{m}_r (Kg/s)	T _{suc.} (°C)	T _{dis.} (°C)	T _e (°C)	T _c (°C)	T _{reh.} (°C)	T ₁₃ (°C)	T ₁₄ (°C)	Pressure (kg/cm ²)			Pd _{diff.} mmH ₂ O	W _{input} (W)	Q _T (W)	Q _R (W)	COP	Test Condition		
	T _{db1} (°C)	T _{wb1} (°C)		T _{db2} (°C)	T _{wb2} (°C)	T* _{db} (°C)	T* _{wb} (°C)										P _{suc.}	P _{dis.}	P _{exp.in}						Normal	Reheat	
																										Before	After
125	26.7	19.1	48.3	24.8	16.2	17.4	13.0	0.39	0.040	0.6	81.1	6.2	41.7	31.6	32.3	21.1	4.0	16.8	11.9	28.3	3,188	6,688	3,318	2.10			✓
130	26.9	19.2	47.9	25.0	16.3	17.6	13.1	0.39	0.040	0.7	81.4	6.4	41.9	31.7	32.4	12.3	4.0	16.8	11.9	28.3	3,189	6,709	3,328	2.10			✓
135	27.0	19.2	47.5	25.0	16.4	17.6	13.1	0.39	0.040	0.7	81.2	6.3	41.8	31.7	32.4	12.3	4.0	16.8	11.9	28.3	3,195	6,708	3,438	2.10			✓
140	26.6	19.3	49.8	16.8	14.2	17.4	13.5	0.40	0.043	3.0	94.4	6.9	47.6	15.7	45.8	15.8	4.5	19.5	17.7	28.8	3,540	6,588	972	1.86	✓		
145	26.2	19.2	51.3	16.8	13.8	17.1	13.3	0.40	0.044	2.5	87.9	6.5	47.6	15.7	45.7	15.7	4.3	19.2	17.5	28.8	3,510	6,665	507	1.90	✓		
150	25.9	19.0	51.6	16.3	13.3	16.7	13.1	0.40	0.043	2.8	89.4	6.6	47.1	15.8	45.3	15.2	4.2	19.0	17.2	28.9	3,459	6,637	200	1.92	✓		
155	25.6	18.7	51.9	15.8	12.8	16.4	12.8	0.40	0.043	4.3	91.8	6.8	46.8	16.0	45.0	14.8	4.2	19.0	17.2	28.9	3,435	6,572	0	1.91	✓		
160	25.4	18.6	51.9	15.6	12.6	16.2	12.6	0.40	0.044	3.9	93.2	6.5	46.9	15.9	45.0	14.5	4.1	18.9	17.1	28.9	3,433	6,651	0	1.94	✓		
165	25.0	18.4	52.5	15.4	12.4	15.9	12.4	0.40	0.043	2.2	93.5	6.5	46.6	15.8	44.8	15.5	4.1	18.9	17.0	28.9	3,420	6,606	0	1.93	✓		
170	24.7	18.3	53.4	15.2	12.3	15.8	12.3	0.40	0.043	3.5	93.7	6.3	46.3	15.5	44.7	14.4	4.1	18.9	17.0	28.9	3,410	6,584	0	1.93	✓		
175	24.5	18.2	53.9	15.1	12.2	15.6	12.2	0.40	0.043	2.7	93.4	6.2	46.2	15.2	44.6	14.1	4.1	18.8	17.0	29.0	3,408	6,574	0	1.93	✓		
180	24.4	18.2	54.4	15.0	12.1	15.6	12.1	0.40	0.044	2.0	93.2	6.3	46.4	15.4	44.5	14.2	4.1	18.7	17.0	29.0	3,400	6,673	0	1.94	✓		
185	24.2	18.1	54.8	14.9	12.0	15.4	12.0	0.40	0.044	2.1	93.9	6.2	46.0	15.1	44.2	14.0	4.1	18.7	17.0	29.0	3,399	6,651	0	1.94	✓		
190	24.2	18.1	54.8	14.8	12.1	15.2	12.1	0.40	0.043	2.0	93.4	6.1	46.0	15.0	44.1	13.9	4.1	18.7	17.0	29.1	3,412	6,572	0	1.92	✓		
195	24.0	18.0	55.1	14.6	12.0	15.0	12.0	0.40	0.043	1.9	93.2	6.1	45.8	14.8	44.0	13.9	4.1	18.7	17.0	29.1	3,407	6,546	0	1.92	✓		
200																											
205																											
210																											
215																											
220																											
225																											
230																											
235																											
240																											
245																											

หมายเหตุ T*_{db} , T*_{wb} คือ อุณหภูมิของอากาศก่อนไหลเข้า Reheat coil

ตารางที่ 4-7 แสดงผลการทดลองของระบบ Reheat แบบที่ 1 (Reheat ก่อนผ่านการระบายความร้อนที่ Condenser) ที่ SHR = 0.50

Load Sensible Heat = 2,921 W , Latent Heat = 2,894 W

Time (min.)	Entering Air		RH (%)	Leaving Air				\dot{m}_a (Kg/s)	\dot{m}_r (Kg/s)	T _{suc.} (°C)	T _{dis.} (°C)	T _e (°C)	T _c (°C)	T _{reh.} (°C)	T ₁₃ (°C)	T ₁₄ (°C)	Pressure (kg/cm ²)			P _{diff.} mmH ₂ O	W _{input} (W)	Q _T (W)	Q _R (W)	COP	Test Condition				
	T _{db1} (°C)	T _{wb1} (°C)		T _{db2} (°C)	T _{wb2} (°C)	T* _{db} (°C)	T* _{wb} (°C)										P _{suc.}	P _{dis.}	P _{exp.in}						Normal	Reheat			
															Before	After													
0	23.5	19.9	71.2	16.1	14.0	16.1	14.0	0.40	0.045	3.2	88.9	8.4	46.9	15.7	45.0	15.9	4.4	19.2	17.3	29.0	3,480	6,892	0	1.96	✓				
5	24.0	20.0	68.7	28.7	18.5	16.9	14.0	0.38	0.042	2.7	85.3	8.6	38.7	42.1	36.0	14.1	4.4	19.2	13.9	28.1	3,504	6,755	4,909	1.93		✓			
10	24.9	20.0	63.3	30.2	18.9	17.6	14.0	0.38	0.042	2.7	84.6	8.7	39.0	42.1	37.2	14.1	4.4	19.2	13.9	28.0	3,510	6,719	5,361	1.91		✓			
15	25.5	20.0	59.9	30.6	18.9	18.1	13.9	0.38	0.042	2.7	84.9	8.6	39.0	42.2	37.3	14.0	4.4	19.2	14.0	28.0	3,514	6,810	5,456	1.94		✓			
20	26.1	20.0	56.7	30.9	18.9	18.5	13.9	0.38	0.042	2.8	84.8	8.6	39.3	42.3	37.7	14.4	4.4	19.3	14.2	28.0	3,527	6,803	5,453	1.93		✓			
25	26.6	20.1	54.6	31.2	19.0	18.9	14.0	0.38	0.042	2.7	85.1	8.7	39.6	42.7	37.8	14.6	4.4	19.3	14.2	27.9	3,532	6,810	5,458	1.93		✓			
30	27.0	20.1	52.6	31.6	19.2	19.2	14.1	0.38	0.042	2.8	85.7	8.8	39.7	42.9	38.1	14.7	4.4	19.4	14.3	27.9	3,536	6,702	5,429	1.91		✓			
35	26.9	20.0	52.6	19.8	15.2	18.9	14.0	0.39	0.045	3.6	84.7	9.5	48.3	17.6	46.4	16.7	4.4	19.5	17.6	28.6	3,588	6,798	1,152	1.90	✓				
40	26.4	19.7	53.3	17.6	14.1	18.2	13.6	0.39	0.045	3.1	86.7	8.5	47.6	16.9	47.7	16.0	4.4	19.5	17.6	28.8	3,566	6,891	510	1.94	✓				
45	25.9	19.5	54.7	17.0	13.7	17.8	13.5	0.39	0.045	2.9	87.4	8.3	47.8	16.5	45.9	15.7	4.4	19.4	17.5	28.9	3,542	6,851	201	1.93	✓				
50	25.9	19.6	55.2	29.1	18.3	18.3	13.5	0.38	0.042	2.3	83.8	8.3	39.3	42.0	37.6	14.1	4.3	19.3	14.2	28.0	3,508	6,719	5,151	1.92		✓			
55	26.6	19.8	52.9	30.7	18.8	19.0	13.7	0.38	0.042	2.5	84.7	8.4	39.8	42.4	38.2	14.3	4.3	19.3	14.2	28.0	3,526	6,747	5,329	1.91		✓			
60	27.0	20.0	52.0	31.2	18.9	19.3	13.9	0.38	0.042	2.9	85.3	8.6	39.9	43.0	38.2	14.7	4.3	19.4	14.3	27.9	3,519	6,780	5,437	1.93		✓			
65	27.1	20.0	51.6	19.7	15.1	19.0	14.0	0.39	0.045	3.6	83.9	9.4	48.3	17.7	46.5	16.8	4.5	19.6	17.8	28.5	3,577	6,889	1,145	1.93	✓				
70	26.6	19.8	52.9	17.7	14.1	18.4	13.8	0.39	0.045	3.0	86.5	8.5	47.7	16.8	45.9	15.8	4.4	19.4	17.5	28.8	3,512	6,824	306	1.94	✓				
75	26.1	19.5	53.6	17.0	13.8	18.0	13.6	0.39	0.044	2.8	87.4	8.5	47.9	16.6	46.0	15.9	4.4	19.4	17.5	28.8	3,518	6,735	201	1.91	✓				
80	25.5	19.4	55.1	16.6	13.5	17.2	13.4	0.39	0.045	2.7	87.2	8.2	47.6	16.5	45.7	15.6	4.3	19.3	17.5	28.9	3,524	6,835	99	1.94	✓				
85																													
90																													
95																													
100																													
105																													
110																													
115																													
120																													

หมายเหตุ T*_{db} , T*_{wb} คือ อุณหภูมิของอากาศก่อนไหลเข้า Reheat coil

ตารางที่ 4 - 8 แสดงผลการทดลองของระบบ Reheat แบบที่ 2 (Reheat หลังผ่านการระบายความร้อนที่ Condenser) ที่ SHR = 0.50

Load Sensible Heat = 2,921 W , Latent Heat = 2,894 W

Time (min.)	Entering Air		RH (%)	Leaving Air				\dot{m}_a (Kg/s)	\dot{m}_r (Kg/s)	T _{suc.} (°C)	T _{dis.} (°C)	T _e (°C)	T _c (°C)	T _{reh.} (°C)	T ₁₃ (°C)	T ₁₄ (°C)	Pressure (kg/cm ²)			P _{diff.} mmH ₂ O	Winput (W)	Q _r (W)	Q _R (W)	COP	Test Condition		
	T _{db1} (°C)	T _{wb1} (°C)		T _{db2} (°C)	T _{wb2} (°C)	T* _{db} (°C)	T* _{wb} (°C)										P _{suc.}	P _{dis.}	P _{exp.in}						Normal	Reheat	
																										Before	After
0	23.5	19.9	71.2	16.1	14.0	16.1	14.0	0.40	0.045	3.2	88.7	8.2	46.7	16.1	44.9	15.5	4.4	19.1	17.2	29.1	3,482	6,892	0	1.96	✓		
5	23.7	19.7	68.5	23.3	16.2	16.1	13.5	0.39	0.042	1.5	78.8	7.6	41.5	31.3	31.9	12.5	4.1	16.8	11.8	28.6	3,290	7,011	2,849	2.13			✓
10	24.1	19.7	66.1	24.0	16.4	16.4	13.6	0.39	0.042	1.1	74.7	7.3	41.2	30.9	31.7	12.2	4.1	16.9	11.9	28.5	3,242	6,888	2,962	2.12			✓
15	24.5	19.8	64.3	24.3	16.6	16.8	13.7	0.39	0.042	1.1	75.1	7.3	41.5	31.1	31.9	12.4	4.1	17.0	12.0	28.5	3,233	6,906	3,082	2.13			✓
20	24.8	19.8	62.6	24.6	16.7	17.0	13.7	0.39	0.042	1.6	75.4	7.3	41.5	31.2	32.0	12.5	4.1	17.0	12.0	28.5	3,230	6,900	3,192	2.13			✓
25	25.1	19.8	60.8	24.7	16.8	17.2	13.7	0.39	0.042	1.5	75.6	7.3	41.7	31.4	32.2	12.4	4.2	17.1	12.0	28.4	3,222	6,883	3,245	2.13			✓
30	25.3	19.8	59.7	24.9	16.8	17.4	13.7	0.39	0.042	1.6	75.3	7.5	42.0	31.5	32.3	12.7	4.2	17.1	12.1	28.4	3,262	6,880	3,296	2.11			✓
35	25.5	19.9	59.2	25.1	17.0	17.6	13.8	0.39	0.042	1.4	75.8	7.4	42.2	31.7	32.7	12.8	4.2	17.1	12.1	28.4	3,271	6,901	3,419	2.11			✓
40	25.7	19.9	58.2	25.3	17.0	17.8	13.8	0.39	0.042	1.7	75.6	7.7	42.5	31.9	32.7	13.0	4.2	17.1	12.1	28.4	3,261	6,897	3,418	2.11			✓
45	25.9	19.9	57.1	25.4	17.0	17.9	13.8	0.39	0.042	1.7	75.3	7.7	42.5	32.0	32.9	13.0	4.2	17.2	12.2	28.4	3,283	6,895	3,417	2.10			✓
50	26.1	19.9	56.0	25.4	17.0	18.1	13.8	0.39	0.042	2.0	75.2	7.6	42.5	32.1	33.0	13.0	4.2	17.3	12.2	28.4	3,275	6,893	3,416	2.11			✓
55	26.3	20.0	55.6	25.6	17.0	18.2	14.0	0.38	0.041	1.8	75.3	7.6	42.6	32.2	33.0	12.9	4.2	17.3	12.2	28.3	3,285	6,805	3,209	2.07			✓
60	26.4	20.0	55.1	25.6	17.1	18.3	14.0	0.38	0.041	1.9	75.7	7.7	42.6	32.3	33.1	13.2	4.2	17.4	12.3	28.3	3,295	6,803	3,321	2.07			✓
65	26.6	20.0	54.0	25.7	17.1	18.4	14.0	0.38	0.041	1.7	75.7	7.8	42.7	32.4	33.1	13.2	4.2	17.4	12.3	28.3	3,301	6,801	3,320	2.07			✓
70	26.7	20.1	54.1	25.8	17.1	18.6	14.0	0.38	0.042	1.8	76.2	7.8	42.7	32.4	33.3	13.0	4.2	17.4	12.3	28.3	3,308	6,926	3,319	2.09			✓
75	26.9	20.1	53.2	25.9	17.1	18.7	14.1	0.38	0.042	2.1	76.4	7.9	42.8	32.5	33.3	13.1	4.3	17.4	12.4	28.3	3,274	6,872	3,318	2.12			✓
80	27.0	20.1	52.7	25.9	17.2	18.8	14.1	0.38	0.042	2.1	76.3	7.8	42.8	32.5	33.5	13.1	4.3	17.4	12.4	28.3	3,289	6,865	3,352	2.10			✓
85	26.8	20.0	53.0	17.9	15.5	18.6	14.1	0.39	0.045	2.5	91.4	8.5	47.9	15.5	46.1	16.4	4.6	19.7	17.8	28.9	3,523	6,805	1,483	1.94	✓		
90	26.3	19.8	54.4	17.4	14.6	18.3	13.9	0.39	0.045	4.1	82.5	8.5	47.6	17.2	45.9	16.8	4.4	19.4	17.5	28.9	3,542	6,812	726	1.92	✓		
95	25.9	19.7	55.4	17.2	14.1	18.0	13.8	0.39	0.045	3.0	82.5	8.4	47.6	16.6	45.7	16.1	4.4	19.3	17.4	28.9	3,532	6,795	306	1.92	✓		
100	25.9	19.8	56.4	24.2	16.4	17.9	13.7	0.39	0.042	1.7	75.9	7.5	42.5	32.0	32.9	12.8	4.2	17.2	12.1	28.6	3,292	6,909	2,862	2.10			✓
105	26.2	19.9	55.5	25.1	16.7	18.2	13.8	0.39	0.042	1.6	75.2	7.5	42.3	32.0	32.8	12.8	4.2	17.2	12.1	28.4	3,289	6,898	3,081	2.10			✓
110	26.5	19.9	53.9	25.3	16.8	18.3	13.8	0.39	0.042	1.8	75.1	7.5	42.2	32.0	32.9	12.9	4.2	17.2	12.1	28.4	3,287	6,894	3,192	2.10			✓
115	26.7	19.9	52.9	25.4	16.9	18.4	13.8	0.39	0.042	1.5	75.2	7.5	42.3	32.0	32.7	12.9	4.3	17.3	12.2	28.4	3,293	6,891	3,303	2.09			✓
120	26.8	19.9	52.5	25.5	17.1	18.6	13.9	0.38	0.041	1.6	75.2	7.5	42.5	32.1	32.9	12.8	4.3	17.3	12.2	28.4	3,290	6,786	3,426	2.06			✓

หมายเหตุ T*_{db} , T*_{wb} คือ อุณหภูมิของอากาศก่อนไหลเข้า Reheat coil

ตารางที่ 4-8 (ต่อ) แสดงผลการทดลองของระบบ Reheat แบบที่ 2 (Reheat หลังผ่านการระบายความร้อนที่ Condenser) ที่ SHR = 0.50

Load Sensible Heat = 2,921 W , Latent Heat = 2,894 W

Time (min.)	Entering Air		RH (%)	Leaving Air				\dot{m}_a (Kg/s)	\dot{m}_r (Kg/s)	Tsuc. (°C)	Tdis. (°C)	Te (°C)	Tc (°C)	Treh. (°C)	T ₁₃ (°C)	T ₁₄ (°C)	Pressure (kg/cm ²)			Pdiff. mmH ₂ O	Winput (W)	Q _r (W)	Q _R (W)	COP	Test Condition		
	T _{db1} (°C)	T _{wb1} (°C)		T _{db2} (°C)	T _{wb2} (°C)	T* _{db} (°C)	T* _{wb} (°C)										Psuc.	Pdis.	Pexp,in						Normal	Reheat	
																										Before	After
125	27.0	20.0	52.1	25.6	17.1	18.6	13.9	0.38	0.042	1.5	75.2	7.4	42.3	32.1	32.8	12.7	4.3	17.3	12.2	28.4	3,288	6,892	3,426	2.10			✓
130	26.9	19.9	51.9	17.8	15.2	18.7	14.0	0.39	0.045	2.5	92.5	8.5	47.9	16.7	46.2	16.5	4.6	19.7	17.8	28.9	3,542	6,823	1,235	1.93	✓		
135	26.4	19.8	53.9	17.5	14.4	18.3	13.9	0.39	0.045	3.5	88.7	8.4	47.7	16.7	45.9	16.6	4.5	19.2	17.6	28.9	3,534	6,813	516	1.93	✓		
140	26.1	19.7	54.8	17.3	14.1	17.9	13.8	0.39	0.045	3.1	83.4	8.4	47.7	16.5	45.9	16.4	4.4	19.3	17.5	29.0	3,507	6,834	329	1.94	✓		
145	25.8	19.6	55.2	17.1	14.0	17.7	13.7	0.39	0.045	3.0	83.2	8.3	47.5	16.4	45.7	16.2	4.4	19.3	17.4	29.0	3,497	6,785	307	1.94	✓		
150																											
155																											
160																											
165																											
170																											
175																											
180																											
185																											
190																											
195																											
200																											
205																											
210																											
215																											
220																											
225																											
230																											
235																											
240																											
245																											

หมายเหตุ T*_{db} , T*_{wb} คือ อุณหภูมิของอากาศก่อนไหลเข้า Reheat coil

ตารางที่ 4 - 9 แสดงผลการทดลองของระบบ Reheat แบบที่ 3 ระบบผสม ที่ SHR = 0.50

Load Sensible Heat = 2,921 W , Latent Heat = 2,894 W

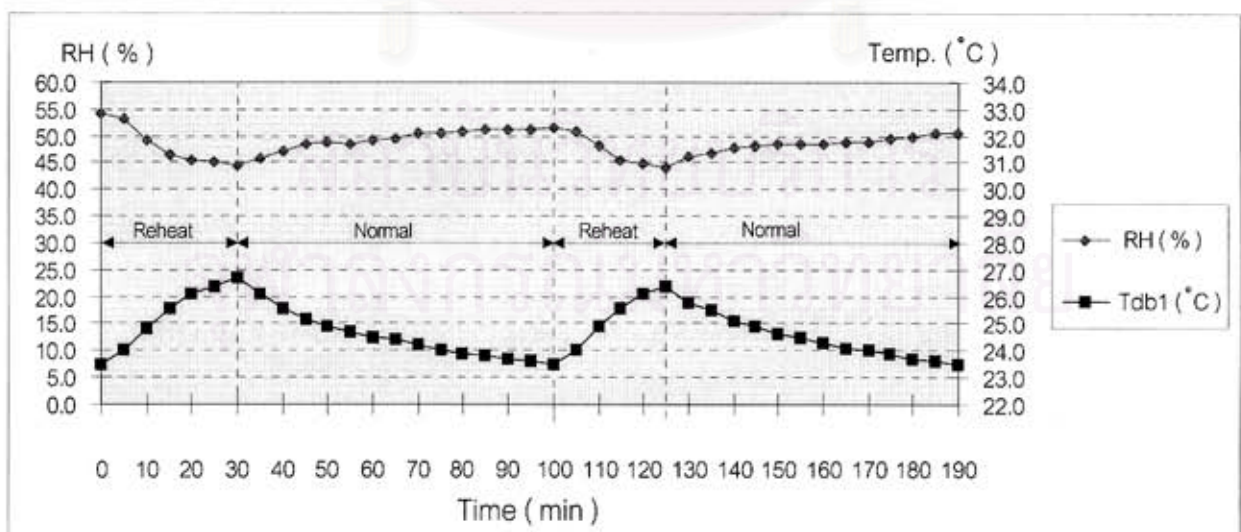
Time (min.)	Entering Air		RH (%)	Leaving Air				\dot{m}_g (Kg/s)	\dot{m}_l (Kg/s)	Tsuc. (°C)	Tdis. (°C)	Te (°C)	Tc (°C)	Treh. (°C)	T ₁₃ (°C)	T ₁₄ (°C)	Pressure (kg/cm ²)			Pdiff. mmH ₂ O	Winput (W)	Q _r (W)	Q _R (W)	COP	Test Condition			
	T _{db1} (°C)	T _{wb1} (°C)		T _{db2} (°C)	T _{wb2} (°C)	T* _{db} (°C)	T* _{wb} (°C)										Psuc.	Pdis.	Pexp,in						Normal	Reheat		
																					Before	After						
0	23.5	19.9	71.2	16.2	14.1	16.2	14.1	0.40	0.045	3.2	87.1	8.2	46.7	16.0	44.9	16.1	4.4	19.2	17.3	29.0	3,481	6,785	0	1.94	✓			
5	24.0	20.0	68.7	28.3	18.3	16.9	13.9	0.38	0.042	2.5	84.9	7.9	38.5	42.4	36.7	14.2	4.3	19.0	13.9	28.1	3,494	6,860	4,776	1.96		✓		
10	24.8	19.9	63.2	29.9	18.7	17.6	13.9	0.38	0.042	2.5	84.5	8.0	39.0	42.3	37.1	14.3	4.3	19.2	14.0	28.0	3,491	6,697	5,225	1.92		✓		
15	25.5	20.0	59.8	30.4	18.9	18.1	13.9	0.38	0.042	2.6	84.9	8.0	39.0	42.4	37.2	14.5	4.3	19.2	14.1	27.9	3,490	6,799	5,447	1.94		✓		
20	26.0	20.0	57.2	30.8	19.0	18.6	13.9	0.38	0.042	2.6	85.1	8.0	39.4	42.6	37.5	14.5	4.4	19.3	14.2	27.8	3,512	6,777	5,451	1.93		✓		
25	26.5	20.1	55.1	31.2	19.0	19.0	14.0	0.38	0.042	2.6	85.6	8.1	39.8	43.0	38.0	14.7	4.4	19.4	14.3	27.8	3,526	6,796	5,448	1.93		✓		
30	27.0	20.2	53.2	31.6	19.1	19.4	14.1	0.38	0.042	3.0	85.9	8.3	40.1	43.3	38.3	15.0	4.4	19.5	14.4	27.8	3,537	6,815	5,464	1.93		✓		
35	27.1	20.0	51.6	20.3	15.2	19.1	14.1	0.39	0.045	3.6	85.2	9.0	48.6	17.9	46.6	17.0	4.5	19.6	17.7	28.5	3,592	6,780	1,150	1.89	✓			
40	26.6	19.8	53.1	18.1	14.4	18.7	13.8	0.39	0.045	3.1	86.7	8.1	47.8	17.2	45.9	16.1	4.4	19.5	17.6	28.7	3,527	6,883	615	1.95	✓			
45	26.0	19.6	54.7	17.1	13.9	18.1	13.6	0.39	0.045	2.7	87.7	8.0	47.7	16.7	46.1	15.7	4.3	19.4	17.6	28.8	3,515	6,860	303	1.95	✓			
50	25.9	19.7	55.8	24.5	16.6	18.2	13.6	0.39	0.042	1.6	75.7	7.7	42.2	32.2	32.9	13.2	4.2	17.3	12.3	28.4	3,326	6,890	3,005	2.09			✓	
55	26.2	19.8	54.9	25.1	16.8	18.3	13.7	0.38	0.041	1.6	74.7	7.7	42.5	32.2	32.9	13.1	4.2	17.3	12.3	28.3	3,293	6,856	3,286	2.08			✓	
60	26.4	19.8	53.8	25.5	16.9	18.6	13.7	0.38	0.041	1.6	74.9	7.4	42.5	32.2	33.0	13.2	4.2	17.3	12.3	28.3	3,283	6,849	3,395	2.09			✓	
65	26.6	19.9	53.5	25.6	16.9	18.7	13.7	0.38	0.042	1.9	74.8	7.7	42.6	32.3	33.0	13.2	4.2	17.2	12.3	28.2	3,253	6,962	3,388	2.14			✓	
70	26.8	19.9	52.4	25.6	16.9	18.8	13.7	0.38	0.042	1.8	75.3	7.6	42.5	32.3	33.0	13.3	4.2	17.2	12.3	28.2	3,281	6,920	3,389	2.12			✓	
75	27.0	20.0	52.1	25.7	17.0	18.9	13.8	0.38	0.042	1.6	75.3	7.6	42.6	32.3	33.1	13.2	4.2	17.2	12.3	28.2	3,290	6,921	3,400	2.10			✓	
80	26.9	19.9	52.0	18.2	15.2	18.8	14.0	0.39	0.045	2.3	91.2	8.9	48.1	16.8	46.2	17.3	4.6	19.8	17.8	28.6	3,590	6,786	1,250	1.90	✓			
85	26.4	19.8	53.9	17.2	14.4	18.6	13.9	0.39	0.045	4.4	85.7	8.5	47.9	16.6	46.0	17.2	4.6	19.5	17.6	28.8	3,580	6,801	513	1.91	✓			
90	26.0	19.6	54.7	17.3	14.2	18.3	13.6	0.39	0.045	2.8	82.6	8.2	47.4	16.7	45.5	16.2	4.5	19.4	17.6	28.8	3,541	6,855	349	1.94	✓			
95	25.8	19.5	55.1	16.7	13.7	18.0	13.5	0.39	0.045	2.6	84.7	7.7	47.3	16.4	45.5	16.0	4.3	19.3	17.5	28.8	3,494	6,840	199	1.96	✓			
100																												
105																												
110																												
115																												
120																												

หมายเหตุ T*_{db} , T*_{wb} คือ อุณหภูมิของอากาศก่อนไหลเข้า Reheat coil

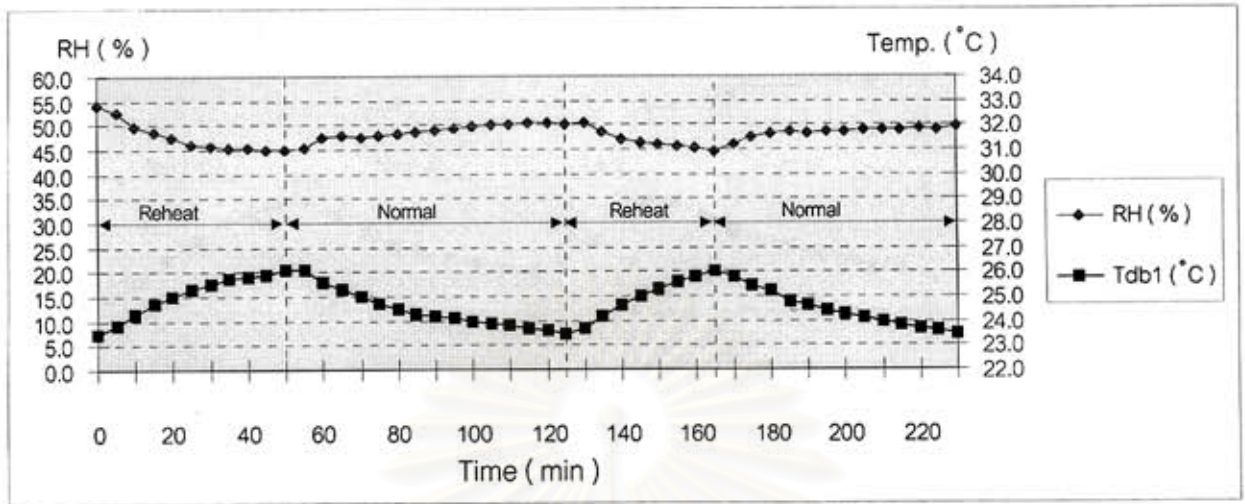
4.2 วิเคราะห์ผลการทดลอง

4.2.1 ความสัมพันธ์ระหว่างอุณหภูมิและความชื้นสัมพัทธ์ภายในห้องปรับอากาศ

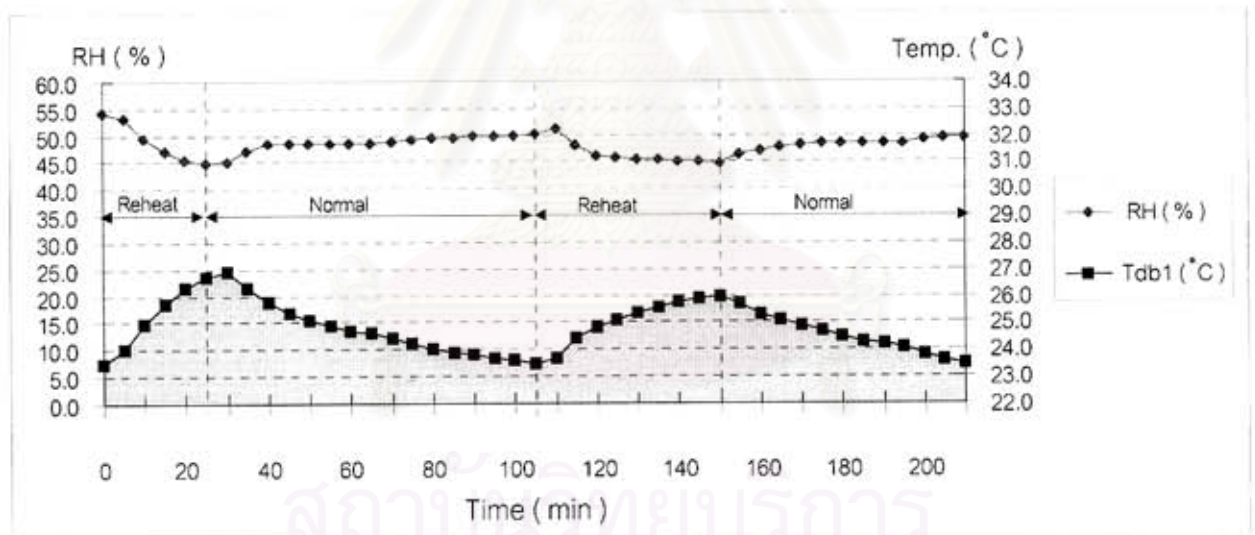
4.2.1.1 สภาวะ SHR = 0.65 ($Q_r = 5,804 \text{ W}$) ถ้าหากระบบปรับอากาศปกติทั่วไปทำงาน (ไม่มีการ Reheat ระบบ) พบว่าระบบจะสมดุลที่ $T_{db} = 22.0^\circ\text{C}$, $T_{wb} = 16.1^\circ\text{C}$ และ RH = 53.5 % แต่เมื่อมีการ Reheat ระบบ โดยการถ่ายเทพลังงานความร้อนจาก Reheat Coil (Q_r) เข้าสู่ห้องปรับอากาศ จะทำให้อุณหภูมิระเปาะแห้งและความดันไอของไอน้ำอิ่มตัวเพิ่มขึ้น ส่งผลทำให้ความชื้นสัมพัทธ์ลดลง ต่ำกว่าสภาวะสมดุล (โดย RH \cong 45 % ตามสภาวะที่ควบคุม) และเมื่อถึงสภาวะที่กำหนด ($T_{db} = 27.0^\circ\text{C}$ หรือ RH = 45 %) ระบบจะเลิก Reheat ระบบปรับอากาศปกติเริ่มทำงานจะทำให้อุณหภูมิระเปาะแห้งและความดันไอของไอน้ำอิ่มตัวลดลง ส่งผลทำให้ความชื้นสัมพัทธ์เพิ่มขึ้นโดยมีแนวโน้มวิ่งเข้าหาจุดสมดุลของระบบ ($T_{db} = 22.0^\circ\text{C}$, $T_{wb} = 16.1^\circ\text{C}$ และ RH = 53.5 %) แต่เนื่องจากกำหนดให้ระบบเริ่ม Reheat เมื่อ $T_{db} = 23.5^\circ\text{C}$ หรือ RH = 55 % ดังนั้นเมื่อถึงสภาวะดังกล่าว ระบบจะ Reheat อีกครั้ง จึงทำให้สภาวะภายในห้องปรับอากาศถูกควบคุมอยู่ในขอบเขตที่กำหนด ดังกราฟแสดงความสัมพันธ์ระหว่างอุณหภูมิและความชื้นสัมพัทธ์ (กราฟ 4 -1,กราฟ 4 - 2 และกราฟ 4 - 3)



กราฟ 4-1 แสดงความสัมพันธ์ระหว่างอุณหภูมิและความชื้นสัมพัทธ์ของระบบที่ 1 ที่ SHR = 0.65

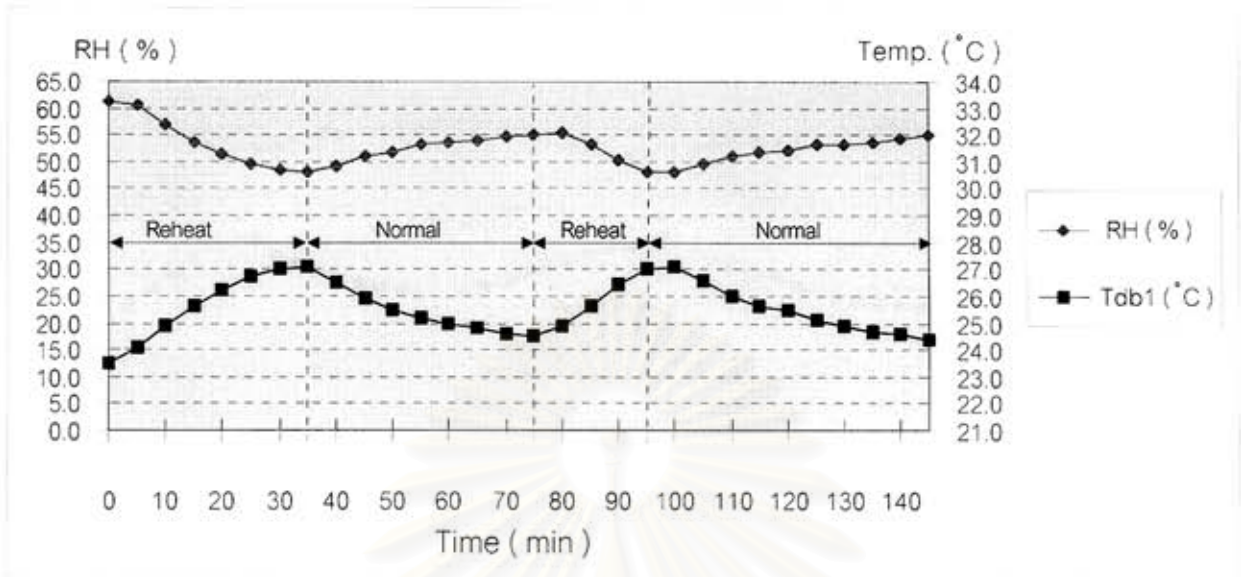


กราฟ4-2แสดงความสัมพันธ์ระหว่างอุณหภูมิและความชื้นสัมพัทธ์ของระบบที่2 ที่ SHR = 0.65

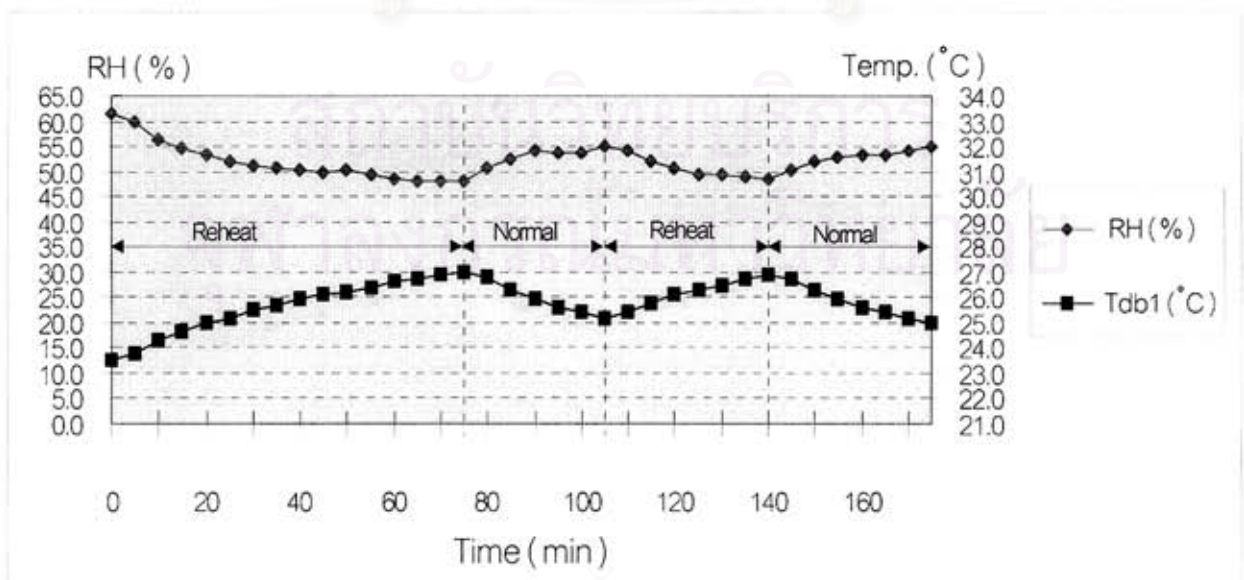


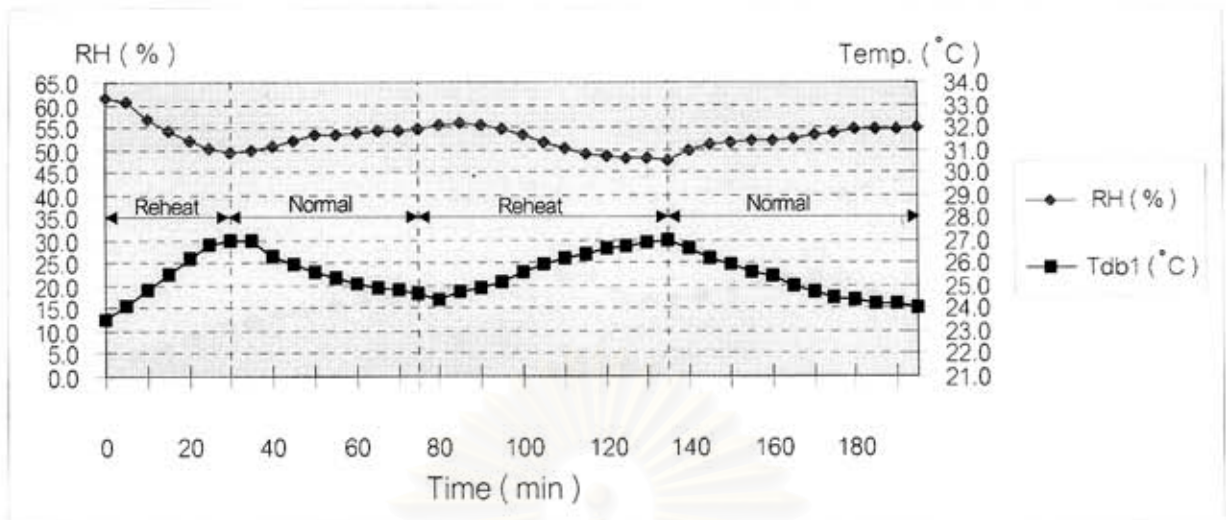
กราฟ4-3แสดงความสัมพันธ์ระหว่างอุณหภูมิและความชื้นสัมพัทธ์ของระบบที่3 ที่ SHR = 0.65

4.2.1.2 สภาวะ SHR = 0.55 ($Q_r = 5,796 \text{ W}$) ถ้าหากระบบปรับอากาศปกติทั่วไปทำงานเพียงอย่างเดียว พบว่าระบบจะสมดุลที่ $T_{db} = 21.3^\circ\text{C}$, $T_{wb} = 16.5^\circ\text{C}$ และ RH = 60 % โดยเมื่อมีการ Reheat ระบบ ทำให้อุณหภูมิเพิ่มขึ้นและความชื้นสัมพัทธ์ลดลง (เช่น ระบบผสม RH ต่ำสุด = 47.5% ที่ $T_{db} = 27^\circ\text{C}$ โดย RH ลดลงจากจุดสมดุล = 12.5 %) ดังกราฟแสดงความสัมพันธ์ระหว่างอุณหภูมิและความชื้นสัมพัทธ์ (กราฟ 4-4, กราฟ 4-5 และ กราฟ 4-6)



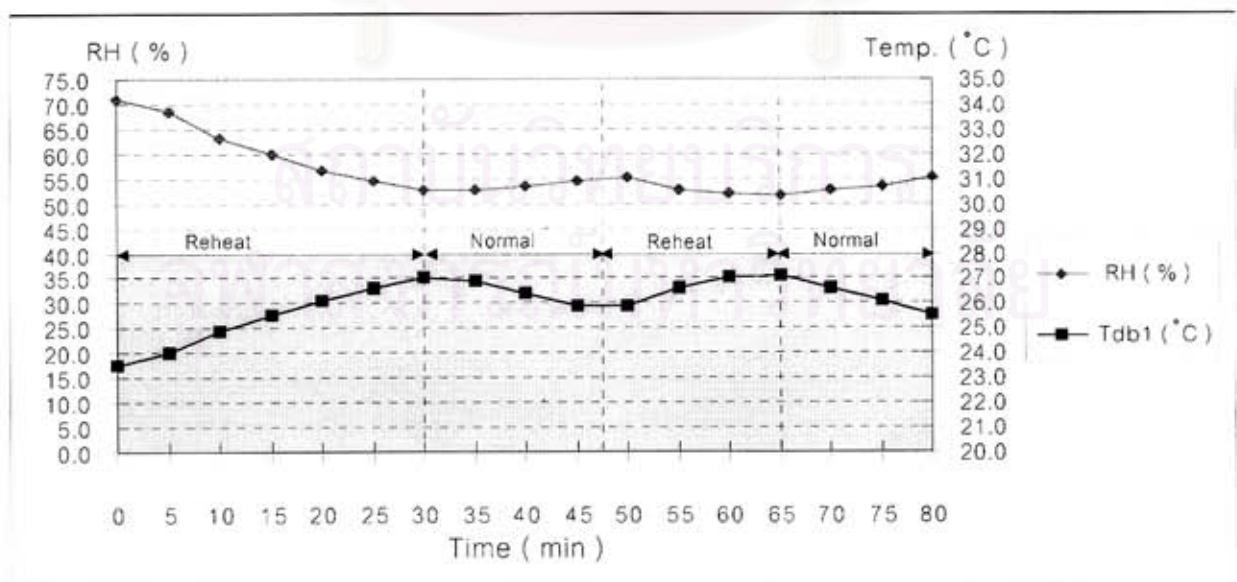
กราฟ 4-4 แสดงความสัมพันธ์ระหว่างอุณหภูมิและความชื้นสัมพัทธ์ของระบบที่ 1 ที่ SHR = 0.55



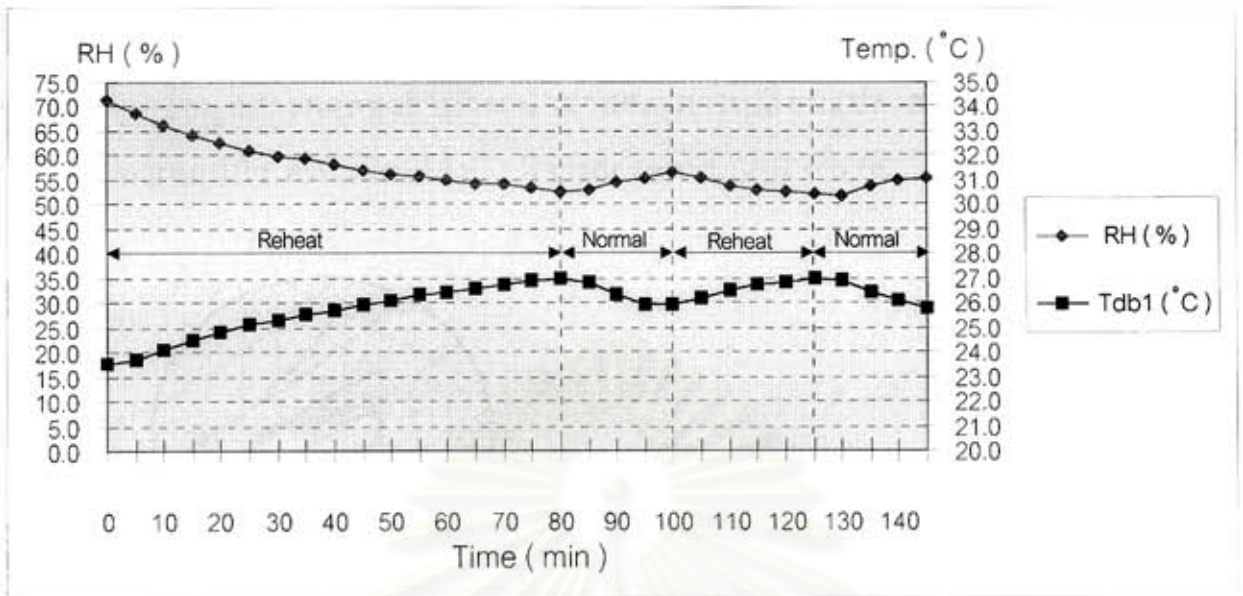


กราฟ 4-6 แสดงความสัมพันธ์ระหว่างอุณหภูมิและความชื้นสัมพัทธ์ของระบบที่ 3 ที่ SHR = 0.55

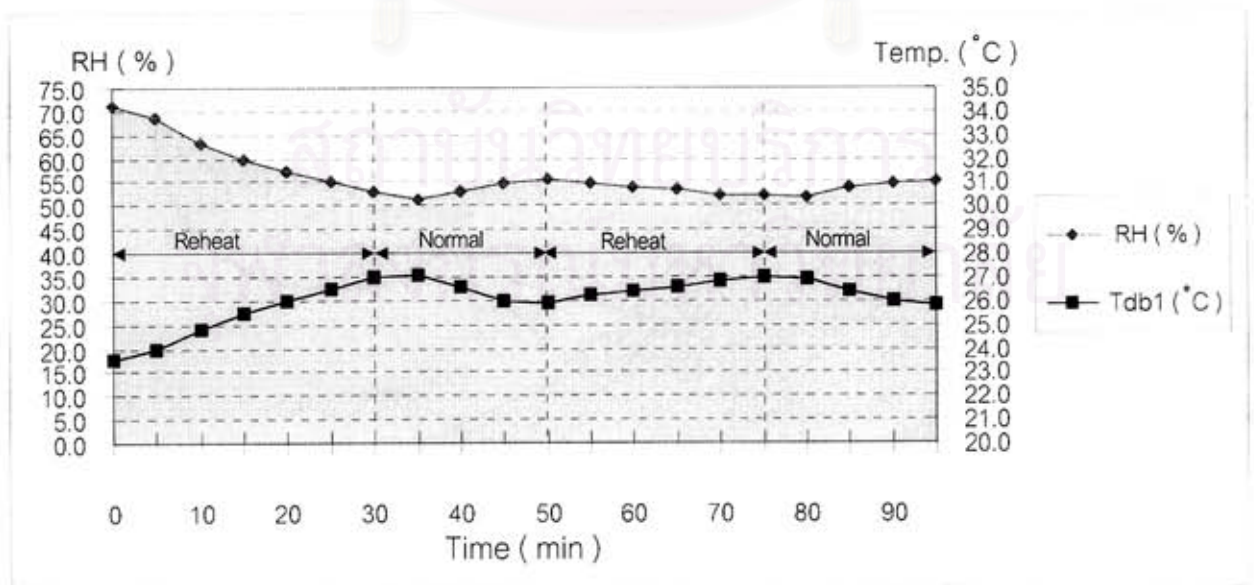
4.2.1.3 สภาวะ SHR = 0.50 ($Q_r = 5,815 \text{ W}$) ถ้าหากระบบปรับอากาศปกติทำงานเพียงอย่างเดียวพบว่าระบบจะสมดุลที่ $T_{db} = 20.0^\circ\text{C}$ และ $T_{wb} = 16.0^\circ\text{C}$ และ RH = 67% โดยเมื่อมีการ Reheat ระบบ ทำให้อุณหภูมิเพิ่มขึ้นและความชื้นสัมพัทธ์ลดลง (เช่น ระบบผสม RH ต่ำสุด = 52.1% ที่ $T_{db} = 27^\circ\text{C}$ โดย RH ลดลงจากจุดสมดุล = 14.9%) ดังกราฟแสดงความสัมพันธ์ระหว่างอุณหภูมิและความชื้นสัมพัทธ์ (กราฟ 4-7, กราฟ 4-8 และ กราฟ 4-9)



กราฟ 4-7 แสดงความสัมพันธ์ระหว่างอุณหภูมิและความชื้นสัมพัทธ์ของระบบที่ 1 ที่ SHR = 0.50

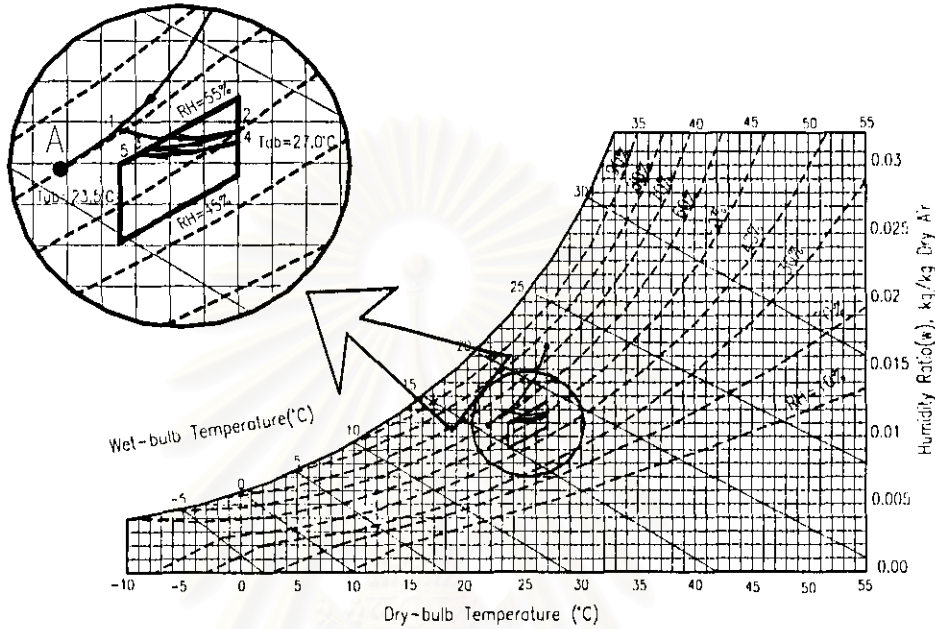


กราฟ 4-8 แสดงความสัมพันธ์ระหว่างอุณหภูมิและความชื้นสัมพัทธ์ของระบบที่ 2 ที่ SHR = 0.50

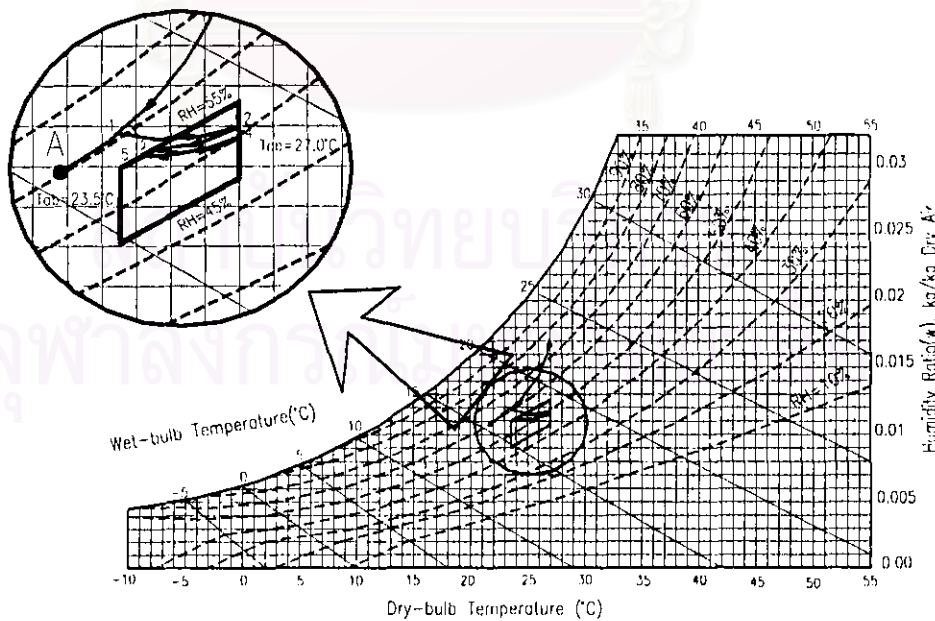


กราฟ 4-9 แสดงความสัมพันธ์ระหว่างอุณหภูมิและความชื้นสัมพัทธ์ของระบบที่ 3 ที่ SHR = 0.50

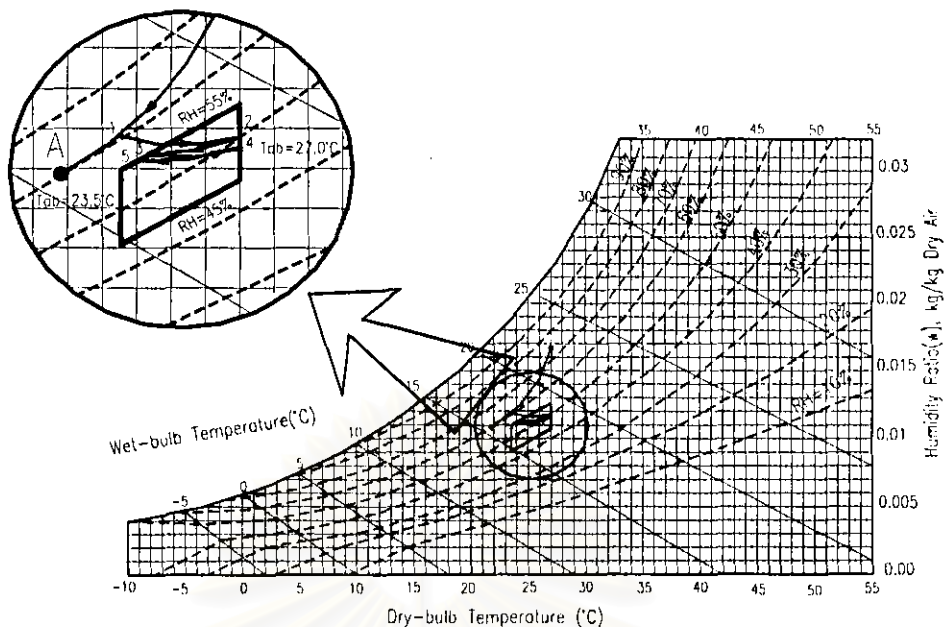
4.2.2 สภาวะภายในห้องปรับอากาศของระบบที่มีการ Reheat โดยเครื่องควบแน่น จากข้อมูลการทดลองสามารถนำมาแสดงการเปลี่ยนแปลงสภาวะภายในห้องปรับอากาศบนแผนภูมิไซโครเมตริกได้ดังนี้ (พิจารณาเฉพาะ SHR = 0.55 , $Q_r = 5,804 \text{ W}$)



รูป 4-1 แสดงทิศทางการเปลี่ยนแปลงสภาวะภายในห้องปรับอากาศ บนแผนภูมิไซโครเมตริก ของระบบ 1 ที่ SHR = 0.55



รูป 4-2 แสดงทิศทางการเปลี่ยนแปลงสภาวะภายในห้องปรับอากาศ บนแผนภูมิไซโครเมตริก ของระบบ 2 ที่ SHR = 0.55



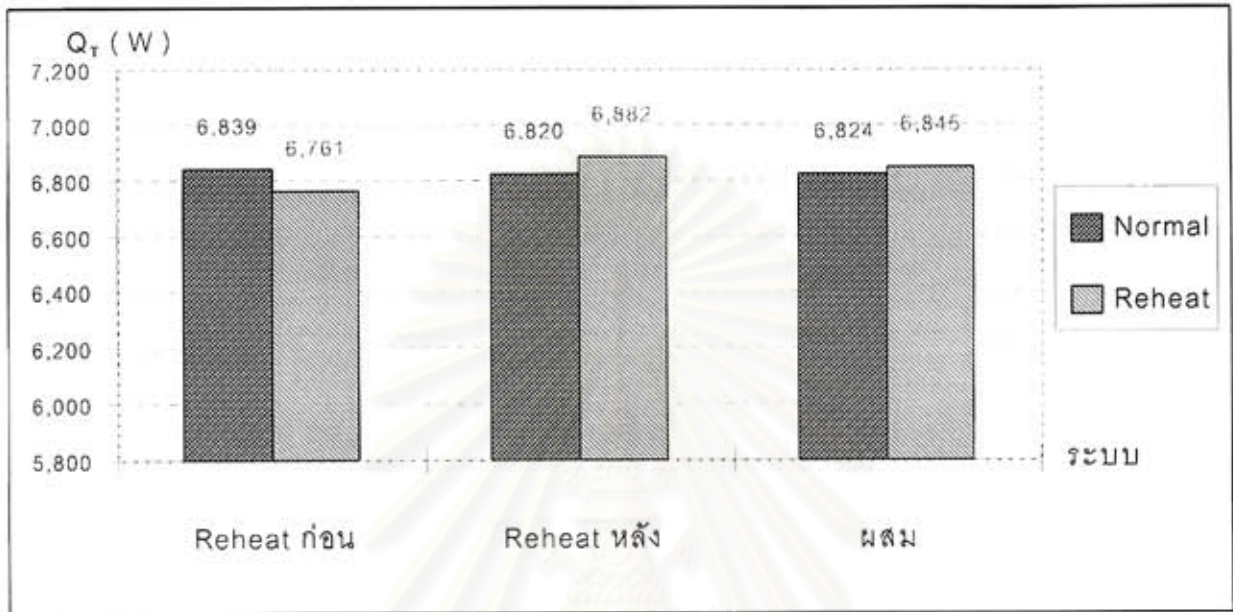
รูป 4-3 แสดงทิศทางการเปลี่ยนแปลงสถานะภายในห้องปรับอากาศ บนแผนภูมิไซโครเมตริก ของระบบ 3 ที่ $SHR = 0.55$

จากรูป แสดงการเปลี่ยนแปลงสถานะภายในห้องปรับอากาศบนแผนภูมิไซโครเมตริก ทั้ง 3 ระบบ ที่ $SHR = 0.55$ พบว่าทิศทางการเปลี่ยนแปลงสถานะมีแนวโน้มเหมือนกันคือ ถ้าหากระบบปรับอากาศปกติทั่วไปทำงานเพียงอย่างเดียว ระบบจะสมดุลที่จุด A ($T_{db} = 21.3^{\circ}\text{C}$, $T_{wb} = 16.5^{\circ}\text{C}$ และ $RH = 60\%$) แต่เนื่องจากกำหนดให้ระบบเริ่ม Reheat เมื่อ $T_{db} = 23.5^{\circ}\text{C}$ ดังนั้นเมื่อถึงอุณหภูมิดังกล่าวระบบจะเริ่ม Reheat ทำให้อุณหภูมิเพิ่มขึ้นและความชื้นสัมพัทธ์ลดลง (ขบวนการ 1 - 2) โดยระบบจะหยุด Reheat ที่จุด 2 ($T_{db} = 27.0^{\circ}\text{C}$) ซึ่ง ณ จุดนี้ระบบปรับอากาศปกติจะเริ่มทำงานอีกครั้ง และจะทำให้อุณหภูมิลดลงและความชื้นสัมพัทธ์เพิ่มขึ้น (ขบวนการ 2 - 3) แล้วระบบจะเริ่ม Reheat อีกครั้งที่จุด 3 ($RH = 55\%$) หลังจากนั้นขบวนการ 3 - 4 จะมีลักษณะเดียวกับขบวนการ 1 - 2 และขบวนการ 4 - 5 จะมีลักษณะเดียวกับขบวนการ 2 - 3 ซึ่งระบบจะทำงานสลับอย่างนี้ไปเรื่อย ๆ โดยสถานะภายในห้องจะอยู่ในขอบเขตที่กำหนด ($23.5^{\circ}\text{C} \leq T_{db} \leq 27.0^{\circ}\text{C}$) และ ($45\% \leq RH \leq 55\%$)

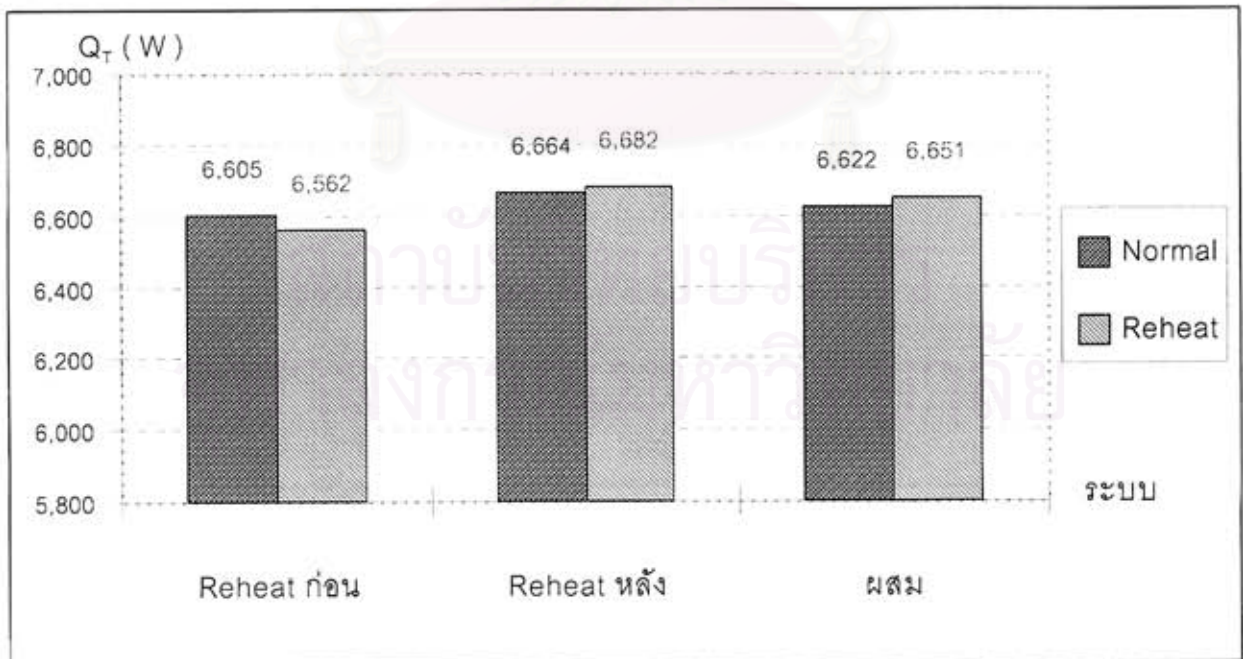
พิจารณาขบวนการ 2 - 3 และขบวนการ 4 - 5 ซึ่งเป็นขบวนการที่ระบบหยุด Reheat (ทำงานเหมือนระบบปรับอากาศปกติทั่วไป) พบว่าจะมีแนวโน้มวิ่งเข้าหาจุดสมดุล (จุด A) นั้นหมายความว่าถ้าหากให้ระบบหยุด Reheat โดยทำงานเหมือนระบบปรับอากาศปกติไปตลอด ณ. สถานะใดสถานะหนึ่ง สุดท้ายระบบจะไปสู่จุดสมดุลคือจุด A

4.2.3 ความสามารถในการทำความเย็น (Q_T)

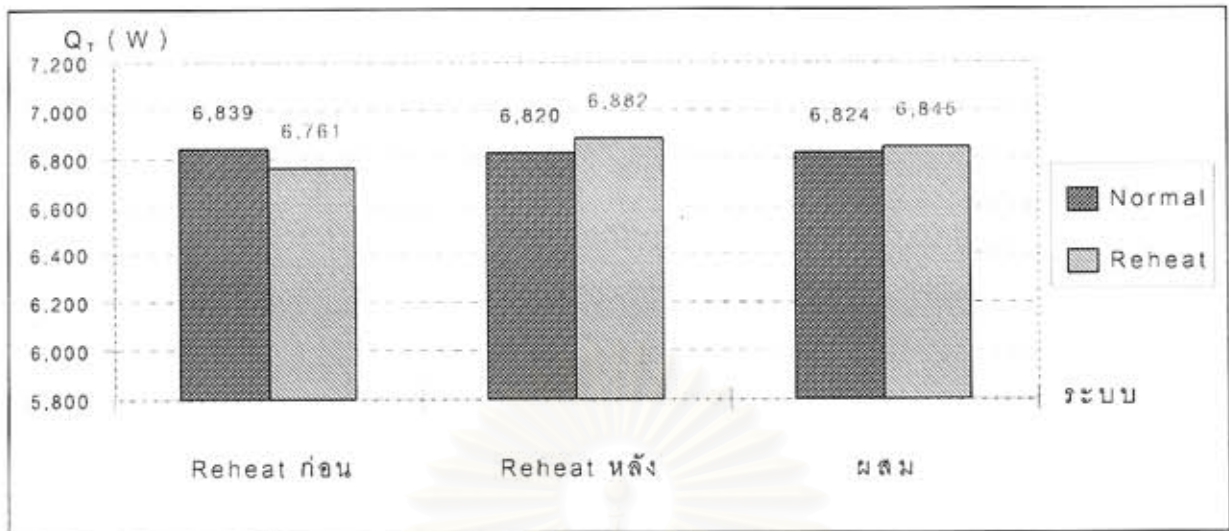
ความสามารถในการทำความเย็น (Q_T) ของแต่ละระบบ มีดังนี้



กราฟ 4-10 แสดงค่า Q_T เฉลี่ยของระบบต่าง ๆ ที่ SHR = 0.65



กราฟ 4-11 แสดงค่า Q_T เฉลี่ยของระบบต่าง ๆ ที่ SHR = 0.55



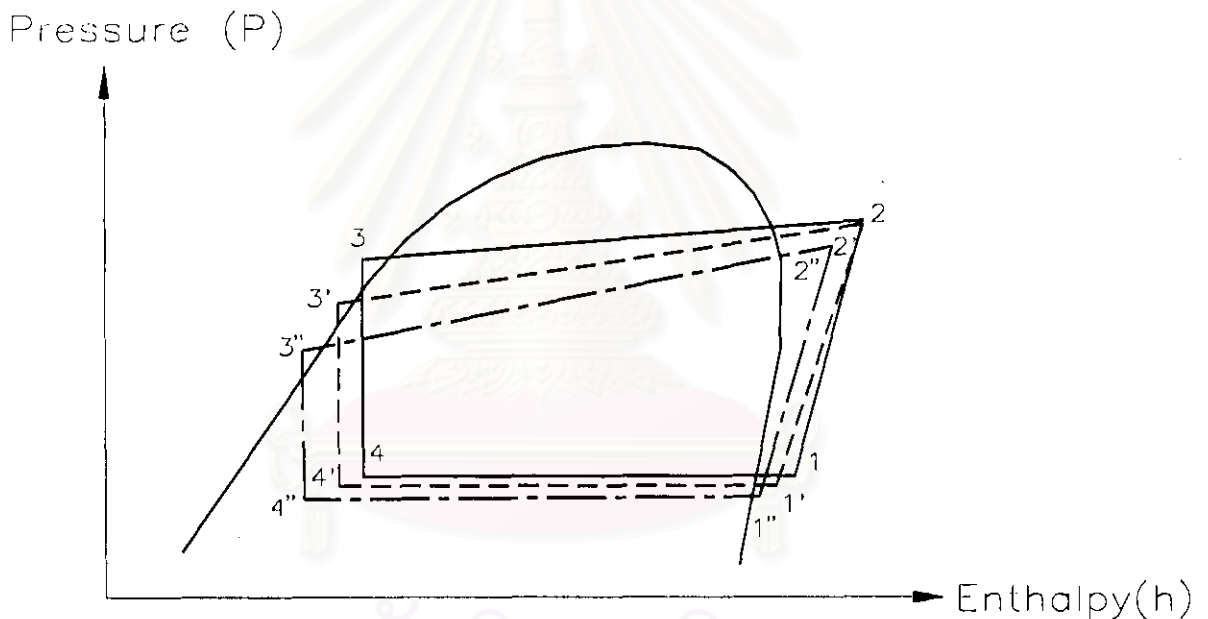
กราฟ 4-12 แสดงค่า Q_T เฉลี่ยของระบบต่าง ๆ ที่ SHR = 0.50

จากกราฟ 4-10, 4-11, และ 4-12 แสดงค่า Q_T เฉลี่ยของระบบต่าง ๆ เปรียบเทียบกันระหว่างในสภาวะทำงานปกติกับสภาวะที่ระบบมีการ Reheat ซึ่งสามารถนำค่า Q_T เฉลี่ยของทุกระบบมาเขียนเปอร์เซ็นต์การเปลี่ยนแปลง ได้ดังตาราง 4 -10

SHR	ระบบ	สภาวะ		% เปลี่ยนแปลง
		ปกติ	Reheat	
0.65	Reheat ก่อน	6,242	6,186	-0.9
	Reheat หลัง	6,217	6,342	+2.0
	ผสม	6,222	6,280	+0.9
0.55	Reheat ก่อน	6,605	6,562	-0.7
	Reheat หลัง	6,664	6,682	+0.3
	ผสม	6,622	6,651	+0.4
0.50	Reheat ก่อน	6,839	6,761	-1.1
	Reheat หลัง	6,820	6,882	+0.9
	ผสม	6,824	6,845	+0.3

ตาราง 4-10 แสดงเปอร์เซ็นต์การเปลี่ยนแปลงค่า Q_T ระหว่างระบบทำงานปกติกับมีการ Reheat

4.2.3.1 พิจารณาเปอร์เซ็นต์การเปลี่ยนแปลงของค่า Q_r เฉลี่ยระหว่างระบบทำงานปกติกับระบบมีการ Reheat พบว่ามีการเปลี่ยนแปลงน้อยมาก แต่ Q_r เฉลี่ยขณะ Reheat มีแนวโน้มเพิ่มขึ้น เนื่องจากอุณหภูมิควบแน่น (ความดันควบแน่น) ภายในเครื่องควบแน่นต่ำกว่ากรณีระบบปกติทำงาน ดังรูป 4-4 ซึ่งเมื่ออุณหภูมิควบแน่นต่ำลง อุณหภูมิของสารทำความเย็นที่ออกจากเครื่องควบแน่นก็จะต่ำลงด้วย ทำให้ความเย็นที่ได้ต่อหนึ่งหน่วยมวลเพิ่มขึ้น ในขณะที่อัตราการไหลของสารทำความเย็น (m^3_r) ทั้งสองกรณีแตกต่างกันน้อยมาก เนื่องจากภายในวงจรของระบบมีถังพักน้ำยา (Accumulator) ทำหน้าที่ควบคุมให้ปริมาณสารทำความเย็นเหมาะสมกับทั้ง 2 ระบบ ทำให้ Q_r เฉลี่ย กรณีระบบมีการ Reheat มากกว่า Q_r เฉลี่ยของระบบปกติ (ระบบไม่มี Reheat)



รูปที่ 4-4 แสดงวัฏจักรของระบบปรับอากาศทั้ง 3 ระบบบนแผนภูมิ P-h (จากข้อมูล การทดลองของระบบผสมที่ SHR = 0.65)

โดย วัฏจักร 1-2-3-4-1 กรณี สารทำความเย็นไม่ไหลผ่าน Reheat Coil (ระบบปกติ)

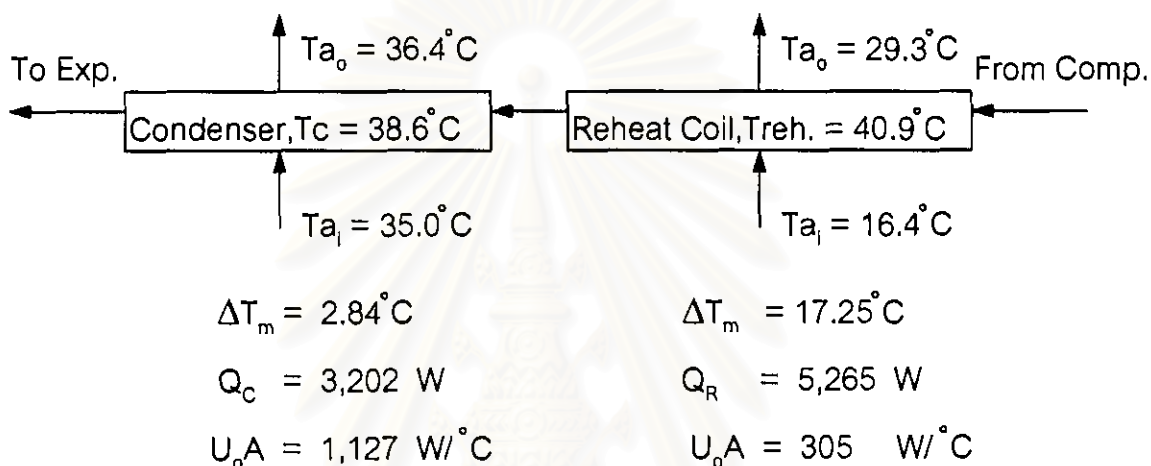
วัฏจักร 1'-2'-3'-4'-1' กรณี สารทำความเย็นไหลผ่าน Reheat Coil ก่อน (ระบบที่ 1)

วัฏจักร 1''-2''-3''-4''-1'' กรณี สารทำความเย็นไหลผ่าน Reheat Coil หลัง (ระบบที่ 2)

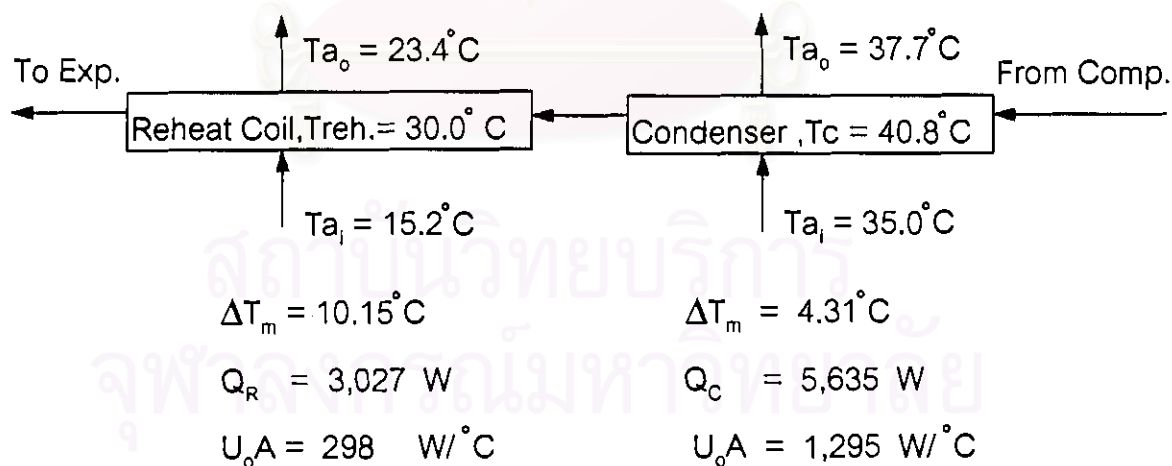
4.2.3.2 จากตาราง 4-10 พบว่า Q_r เฉลี่ยกรณีมีการ Reheat ของระบบที่ 2 (Reheat หลัง) มีค่ามากกว่า ระบบที่ 1 (Reheat ก่อน) เนื่องจากกรณี Reheat หลัง พลังงาน

ความร้อนที่ระบายที่เครื่องควบแน่นรวม (Condenser + Reheat Coil) มีค่ามากกว่ากรณี Reheat ก่อนซึ่งสอดคล้องตามผลการทดลองจากตาราง 4-3 (แสดงผลการทดลองของระบบ Reheat แบบที่ 3 ระบบผสมที่ SHR = 0.65) เมื่อพิจารณา ΔT ของอากาศที่ไหลผ่านคอยล์และปริมาณพลังงานความร้อน (Q) ของเครื่องควบแน่น (Condenser และ Reheat Coil) ของระบบ Reheat ก่อนและระบบ Reheat หลัง มีผลดังนี้

ระบบ Reheat ก่อน



ระบบ Reheat หลัง



ซึ่งจากผลการทดลอง ถ้าหากพิจารณาพลังงานความร้อนที่ระบายโดย Condenser และ Reheat Coil โดยสูตร $Q = \dot{m}_a C_p \Delta T$ โดยกำหนดให้ค่า $\dot{m}_a C_p$ เปลี่ยนแปลงน้อยมากระหว่างระบบ Reheat ก่อนและระบบ Reheat หลัง พบว่าจากผลการทดลองค่า Q_C และ

Q_R ที่ได้จะคลาดเคลื่อนไปจากผล ΔT ของอากาศที่ไหลผ่านคอยล์ทั้ง Condenser และ Reheat Coil ดังนี้

พิจารณา Reheat Coil

ระบบ Reheat ก่อน ΔT ของอากาศ $29.3 - 12.9 = 12.9^\circ\text{C}$ และ $Q_R = 5,265 \text{ W}$

ระบบ Reheat หลัง ΔT ของอากาศ $23.4 - 15.2 = 8.2^\circ\text{C}$ และ $Q_R = 3,027 \text{ W}$

$$\text{แต่ } Q_R \text{ ของระบบ Reheat หลังที่ควรจะได้} = \frac{5,265}{12.9} \times 8.2 = 3,346 \text{ W}$$

$$\text{ดังนั้น คลาดเคลื่อน} = \frac{3,346 - 3,027}{3,346} = 9.53 \%$$

พิจารณา Condenser

ระบบ Reheat ก่อน ΔT ของอากาศ $36.4 - 35.0 = 1.4^\circ\text{C}$ และ $Q_C = 3,202 \text{ W}$

ระบบ Reheat หลัง ΔT ของอากาศ $37.7 - 35.0 = 2.7^\circ\text{C}$ และ $Q_R = 5,635 \text{ W}$

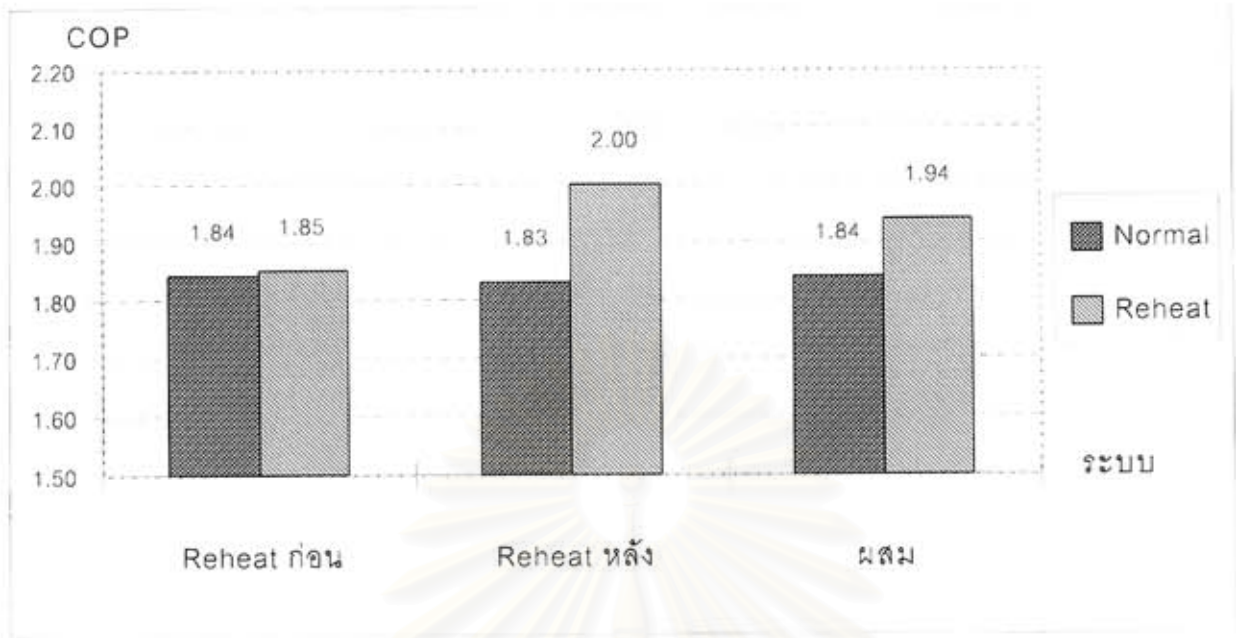
$$\text{แต่ } Q_C \text{ ของระบบ Reheat หลังที่ควรจะได้} = \frac{3,202}{1.4} \times 2.7 = 6,175 \text{ W}$$

$$\text{ดังนั้น คลาดเคลื่อน} = \frac{6,175 - 5,635}{6,175} = 8.74 \%$$

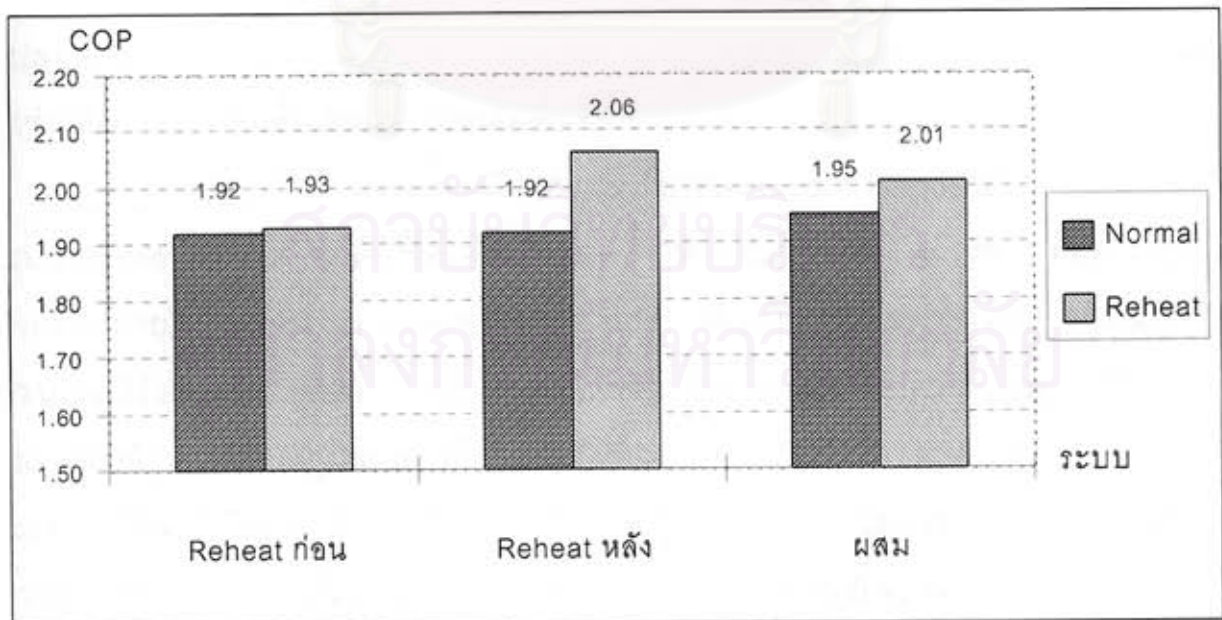
สาเหตุที่ค่า Q_C และ Q_R ที่ได้จากผลการทดลองคลาดเคลื่อนไปจากที่ควรเป็นประมาณ 10% น่าจะเกิดจากความคลาดเคลื่อนของเครื่องมือวัด แต่จากผล ΔT ของอากาศที่ไหลผ่านคอยล์ที่ได้บ่งบอกว่า ระบบ Reheat หลัง พลังงานความร้อนที่ระบายโดยเครื่องควบแน่นรวมมากกว่าระบบ Reheat ก่อน ส่งผลให้อุณหภูมิควบแน่น (ความดันควบแน่น) ภายในเครื่องควบแน่นของระบบ Reheat หลังมีค่าต่ำกว่าระบบ Reheat ก่อน ดังรูป 4-4 ซึ่งเมื่ออุณหภูมิควบแน่นต่ำกว่า ทำให้ Q_T เฉลี่ยกรณี Reheat หลังมากกว่า เช่นเดียวกับเหตุผลในหัวข้อ 4.2.3.1

และที่น่าสังเกตอีกอย่างคือค่า $U_o A$ ของ Reheat Coil ไม่ว่าจะเป็ระบบ Reheat ก่อนหรือระบบ Reheat หลังมีค่าประมาณ 30% ของ Condenser เนื่องจาก Reheat Coil มีขนาดพื้นที่ถ่ายเทความร้อนประมาณ 30% ของ Condenser

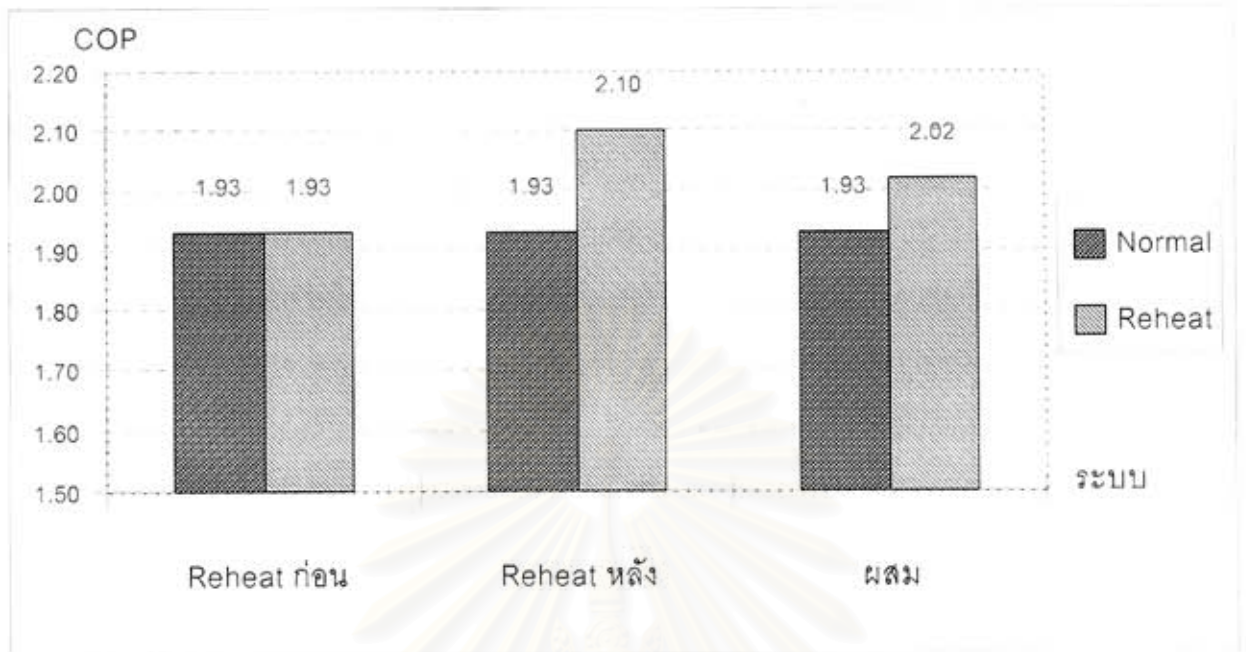
4.2.4 ค่าสัมประสิทธิ์ของสมรรถนะ (COP)



กราฟ 4-13 แสดงค่า COP เฉลี่ยของระบบต่าง ๆ ที่ SHR = 0.65



กราฟ 4-14 แสดงค่า COP เฉลี่ยของระบบต่าง ๆ ที่ SHR = 0.55



กราฟ 4-15 แสดงค่า COP เฉลี่ยของระบบต่าง ๆ ที่ SHR = 0.50

จากกราฟ 4-13, 4-14, และ 4-15 แสดงค่า COP เฉลี่ยของระบบต่าง ๆ พบว่า

- ระบบที่ 1 (Reheat ก่อนผ่านการระบายความร้อนที่ Condenser) พบว่าเมื่อเป็นระบบ Reheat ค่า COP จะเพิ่มขึ้น เนื่องจากในขณะที่ Q_r (ตาราง 4-10) แทบไม่เปลี่ยนแปลง แต่ W_{input} (พิจารณารูป 4-4) ของระบบขณะ Reheat มีค่าน้อยกว่าระบบทำงานปกติ จึงทำให้ค่า COP เพิ่มขึ้นเล็กน้อย โดยเพิ่มขึ้นเฉลี่ย 0.43 %

- ระบบที่ 2 (Reheat หลังผ่านการระบายความร้อนที่ Condenser) เมื่อเป็นระบบ Reheat ค่า COP จะเพิ่มขึ้นมากกว่าระบบที่ 1 (พิจารณารูป 4 - 4) เนื่องจากเมื่ออุณหภูมิควบแน่นภายใน Reheat coil ลดลงจากจุด 4' ในระบบที่ 1 เป็น 4'' ในระบบที่ 2 จะทำให้ค่าความร้อนใช้งาน (h) ลดลง ซึ่งเป็นสาเหตุให้ความสามารถในการทำความเย็นมีมากขึ้น ในขณะที่เดียวกันทำให้อุณหภูมิของสารทำความเย็นที่ออกจากเครื่องอัดไอลดลง จากจุดที่ 2' ในระบบที่ 1 เป็น 2'' ในระบบที่ 2 เป็นสาเหตุให้กำลังที่ใส่ในเครื่องอัดไอ (W_c) ลดลง ส่งผลให้ค่า COP ของระบบที่ 2 เพิ่มขึ้นมากกว่าระบบที่ 1 โดยเพิ่มขึ้นเฉลี่ย 8.45 %

- ระบบผสมค่า COP จะอยู่กึ่งกลางของทั้ง 2 ระบบ โดยเพิ่มขึ้นเฉลี่ย 4.98 %

4.2.5 ค่าปริมาณความร้อนที่ระบายโดย Reheat Coil เข้าสู่ระบบ (Q_R)

พิจารณาค่าปริมาณพลังงานความร้อนที่ระบายโดย Reheat Coil เข้าสู่ระบบ (Q_R) ของระบบ Reheat แบบที่ 3 (ระบบผสม) ที่ SHR = 0.55 พบว่าในกรณีของระบบที่ 1 (Reheat ก่อนผ่านการระบายความร้อนที่ Condenser) จะมีค่าประมาณ 5,400 W (ใกล้เคียงตามค่าที่ออกแบบ) แต่กรณีของระบบที่ 2 (Reheat หลังผ่านการระบายความร้อนที่ Condenser) มีค่าประมาณ 3,200 W สอดคล้องตามสมการพื้นฐานการส่งผ่านความร้อนในเครื่องควบแน่น

$$q = U_o A \Delta T_m$$

เนื่องจากในขณะที่คุณณหภูมิกาศที่ระบายความร้อนเครื่องควบแน่น (Reheat coil) ของทั้งสองระบบใกล้เคียงกัน แต่อุณหภูมิควบแน่นของสารทำความเย็นในเครื่องควบแน่นของระบบที่ 1 มีค่าประมาณ 43.0°C แต่ระบบที่ 2 มีค่าประมาณ 30.0°C ทำให้ผลต่างอุณหภูมิเฉลี่ยแบบลอการิทึม (ΔT_m) ของระบบที่ 1 มีการเปลี่ยนแปลงมากกว่าระบบที่ 2 ส่งผลให้ค่าปริมาณพลังงานความร้อนที่ระบายโดย Reheat Coil เข้าสู่ระบบ (Q_R) ของระบบที่ 1 มากกว่าระบบที่ 2

4.2.6 เวลาที่ใช้ในการ Reheat ระบบ

พิจารณาที่สภาวะ SHR = 0.65 (ตารางที่ 4 - 1 แสดงผลการทดลองของระบบ Reheat แบบที่ 1 และตารางที่ 4 - 2 แสดงผลการทดลองของระบบ Reheat แบบที่ 2) พบว่าระยะเวลาที่ใช้ในการลดความชื้นสัมพัทธ์จาก RH = 54.2 % ไปสู่ RH = 45.0 % ในระบบแรกเท่ากับ 25 นาที ระบบที่สองเท่ากับ 50 นาที ซึ่งสอดคล้องกับค่า Q_R (ระบบแรก $Q_R = 5,200\text{ W}$ ระบบที่สอง $Q_R = 3,215\text{ W}$)

4.3 สรุป

จากผลการทดลองสามารถสรุปได้ดังนี้

4.3.1 เมื่อมีการ Reheat ระบบ โดยการระบายพลังงานความร้อนจาก Reheat Coil (Condenser อีกชั้นที่วางอยู่ที่ Fan Coil Unit) ทำให้อุณหภูมิระเปาะแห้งและความดันไอของไอน้ำอิ่มตัวเพิ่มขึ้นส่งผลทำให้ความชื้นสัมพัทธ์ลดลง ซึ่งจากการทดลองกับเครื่องปรับอากาศแบบแยกส่วนขนาด 30,000 Btu/hr (8,530 W) และใช้ Reheat Coil ขนาดประมาณ 30%

ของ Condenser ที่ติดตั้งอยู่ที่ Condensing Unit โดยทำการทดลองกับโหลดของห้องขนาด 5,800 W ที่ Room Sensible Heat Ratio ต่ำสุดเท่ากับ 0.50 พบว่าสามารถลดความชื้นสัมพัทธ์ลงจากจุดสมดุลของระบบปกติ (ไม่มี Reheat) ประมาณ 10 - 15 % RH

4.3.2 ค่า COP ของระบบ Reheat จะมากกว่าระบบปรับอากาศปกติ เนื่องจากขณะที่เป็นระบบ Reheat อุณหภูมิควบแน่น (ความดันควบแน่น) ภายในเครื่องควบแน่นต่ำกว่าระบบปรับอากาศปกติ ทำให้ Q_r เพิ่มขึ้น ในขณะที่งานที่ใช้ในการอัดของเครื่องอัดไอ W_{input} ลดลง และค่า COP ของระบบที่ 2 (Reheat หลังผ่านการระบายความร้อนที่ Condenser) จะมากกว่าระบบที่ 1 (Reheat ก่อนผ่านการระบายความร้อนที่ Condenser)

4.3.3 จากผลการทดลองพบว่าแต่ละระบบมีข้อดีและข้อเสีย ดังนี้

ระบบ	ข้อดี	ข้อเสีย
Reheat ก่อน	1. ใช้เวลาในการ Reheat สั้น 2. ใช้ Reheat ระบบที่มีความชื้นสัมพัทธ์สูง ๆ ได้ดี	1. ค่า COP ขณะ Reheat ต่ำกว่าระบบ Reheat หลัง (ต่ำกว่าประมาณ 6 % ที่ SHR = 0.55)
Reheat หลัง	1. ค่า COP สูงกว่าระบบ Reheat ก่อน	1. ใช้เวลาในการ Reheat นาน 2. ใช้ Reheat ระบบที่มีความชื้นสัมพัทธ์สูง ๆ ได้ไม่ดี (Q_r ต่ำ)
ผสม	1. ใช้ปริมาณพลังงานความร้อน (Q_r) และเวลาสอดคล้องตามปริมาณความชื้นสัมพัทธ์ภายในห้องปรับอากาศ 2. ค่า COP ดีกว่าระบบ Reheat ก่อน	1. ค่าลงทุนเริ่มต้นสูง เนื่องจากมี 2 ระบบ(อุปกรณ์ควบคุมมาก)

ระบบที่เหมาะสมที่สุดสำหรับนำไปใช้ในเชิงพาณิชย์ควรจะเป็นระบบ Reheat ก่อน เนื่องจากใช้ระยะเวลาในการ Reheat ให้ความชื้นสัมพัทธ์ลดลงสู่ขอบเขตที่ยอมรับได้สั้น และ ค่า COP เมื่อเปรียบเทียบกับระบบ Reheat หลังก็น้อยกว่าเพียงเล็กน้อย ในขณะที่ใช้อุปกรณ์ควบคุมน้อยชิ้นกว่าระบบผสม (ค่าลงทุนเริ่มต้นจะต่ำกว่าระบบผสม) และเนื่องจากประเทศไทยมีความชื้นสัมพัทธ์ค่อนข้างสูง ระบบที่สามารถลดความชื้นสัมพัทธ์ได้อย่างรวดเร็วจึงเหมาะสมที่สุด

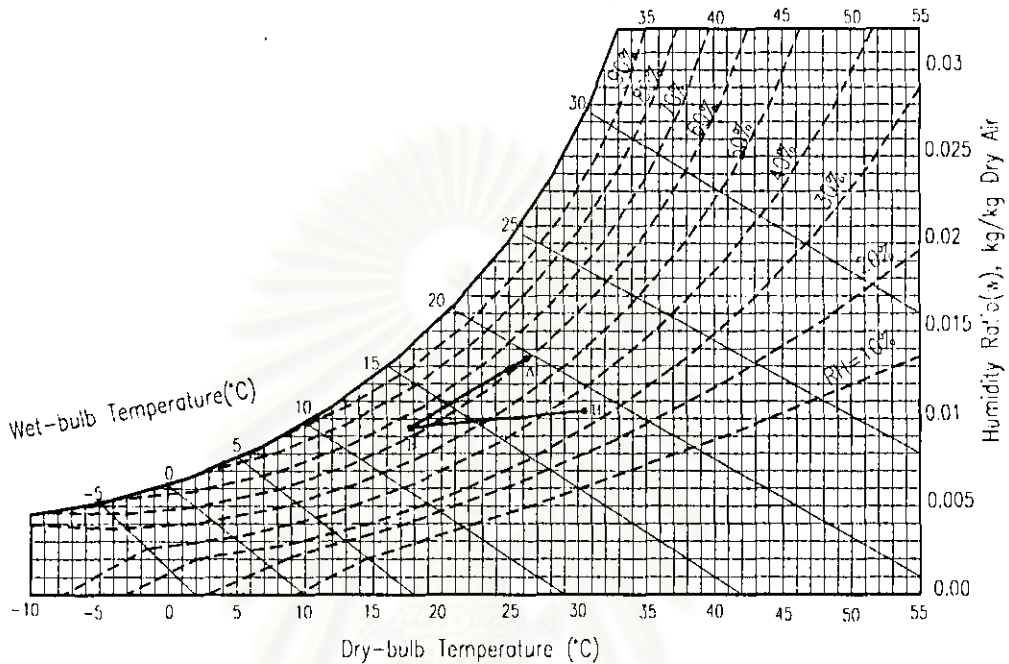
4.3.4 พิจารณาวิเคราะห์เปรียบเทียบค่าใช้จ่ายและระบบเวลาในการค้ำทุน เนื่องจากการ Reheat ระบบ โดยวิธีนี้เป็นการนำพลังงานความร้อน ที่ถ่ายเทจากเครื่องควบแน่นเข้าสู่ห้องปรับอากาศแทนการใช้ Heater ซึ่งเป็นการใช้พลังงานความร้อนแบบได้เปล่า โดยจำนวนเงินที่เพิ่มขึ้นจากการเพิ่มชุด Reheat Coil และชุดควบคุมเข้าไปในระบบปรับอากาศปกติทั่วไป จะค้ำทุนภายใน 2 ปี (วิธีคำนวณในภาคผนวก จ.)

4.4 ข้อเสนอแนะ

4.4.1 จากการทดลองพบว่า โหลดของห้องปรับอากาศควรจะมีค่าต่ำกว่าหรือเท่ากับ 85 % ของความสามารถในการทำความเย็นของเครื่องปรับอากาศ (Q_T) เช่น จากการทดลอง $Q_T = 6,600 \text{ W}$ โดยโหลดของห้องประมาณ 5,800 W เป็นต้น ซึ่งจะเป็นค่าที่จะทำให้ในช่วงที่มีการ Reheat สภาพภายในห้องปรับอากาศเหมาะสมทั้งอุณหภูมิและความชื้นสัมพัทธ์

4.4.2 เนื่องจากชุดทดลองนี้ข้อจำกัดทั้งงบประมาณและห้องที่ใช้ทดสอบ จึงทดลองได้เฉพาะชุดทดลองขนาดเล็ก (2.5 ตันความเย็น) ซึ่งปริมาณความร้อนที่ได้จากเครื่องควบแน่น (Q_R) เพื่อนำไป Reheat ระบบจะมีปริมาณน้อยเมื่อเปรียบเทียบกับราคาของชุดควบคุมที่ค่อนข้างแพง ทำให้ระยะเวลาในการค้ำทุนค่อนข้างนาน (~ 2 ปี) แต่ถ้าหากเป็นระบบใหญ่ปริมาณ Q_R มากขึ้นแต่ราคาของชุดควบคุมเท่าเดิมทำให้ระยะเวลาในการค้ำทุนลดลง ดังนั้นถ้าหากจะทำการวิจัยเรื่องนี้ต่อควรใช้เครื่องปรับอากาศขนาดใหญ่ และน่าจะทดลองวงจรควบคุมแบบขนาน (สารทำความเย็นเพียงแค่ส่วนหนึ่งไหลไประบายความร้อนที่ Reheat Coil) ควบคุมไปด้วย

4.4.3 จากผลการทดลองของระบบ Reheat แบบที่ 1 (Reheat ก่อนผ่านการระบายความร้อนที่ Condenser) ขณะ Reheat พบว่า อุณหภูมิของอากาศหลังผ่าน Fan Coil Unit จะสูงกว่าอุณหภูมิภายในห้องปรับอากาศ (เกิดขึ้นขณะ Reheat เท่านั้น) ซึ่งบ่งบอกว่าปริมาณความร้อนที่ใช้ในการ Reheat มากเกินไป ดังรูป



รูปที่ 4-5 แสดงขบวนการทำความเย็นของระบบ Reheat แบบที่ 1 ที่ SHR = 0.55 บนแผนภูมิไซโครเมตริก

โดย จุด A เป็นสถานะของอากาศภายในห้องปรับอากาศ

จุด B เป็นสถานะของอากาศหลังผ่านคอยล์เย็น (Evaporator)

จุด B' เป็นสถานะของอากาศหลังผ่าน Fan Coil Unit

สาเหตุที่ผลการทดลองออกมาในรูปร่างดังกล่าวเนื่องจาก ระบบควบคุมที่ใช้ในการทดลองเป็นแบบ On - Off จึงไม่สามารถควบคุมปริมาณความร้อนที่ใช้ในการ Reheat ให้เหมาะสมตามโหลดในสถานะนั้น ๆ โดยเฉพาะระบบ Reheat แบบที่ 1 ขณะ Reheat ปริมาณความร้อน (Q_R) จะมากเกินไป และเมื่อหยุด Reheat ก็ไม่มีปริมาณความร้อน (Q_R) จ่ายลงสู่ห้องปรับอากาศเลย

ดังนั้นถ้าหากทำการวิจัยในครั้งต่อไปควรเปลี่ยนระบบควบคุมเป็นแบบ Proportional แทนระบบควบคุมแบบ On-Off ซึ่งจะทำให้ปริมาณความร้อนที่ใช้ในการ Reheat เหมาะสมตามความต้องการ